

Signaux Electriques SE6 Filtrage linéaire

I Etude d'un filtre 1

 1.) Grandeurs caractéristiques d'un signal sinusoïdal 1

 2.) Définition d'un filtre 2

 3.) Diagramme de Bode du quadripôle. 2

II Etude détaillée de filtres du premier ordre 3

 1) Circuit RC série sortie sur C. 3

 2) Circuit RC série sortie sur R. 5

III Etude détaillée de filtres du second ordre 7

 1) Circuit RLC série sortie sur C. 7

 2) Circuit RLC série sortie sur R. 9

IV Filtrage d'un signal non sinusoïdal 11

 1.) Théorème de Fourier 11

 2.) Filtre passe-bas du premier ordre. 13

 3.) Filtre passe-haut du premier ordre 15

 4.) Filtre passe-bande 16

V Utilisation des filtres 17

 1.) Choix d'un modèle de filtre en fonction d'un cahier des charges. 17

 2.) Catalogue de filtres. 17

 3.) Mise en cascades de deux filtres. 19

 4.) Exemple de filtre non linéaire : le multiplieur 20

VI Capacité numérique : Simuler l'action d'un filtre sur un signal périodique. 21

Filtre : opérateur qui permet de sélectionner des signaux utiles, selon leurs fréquences.

Linéaire : ne contient que des dipôles linéaires. La grandeur de sortie a alors la même fréquence que la grandeur d'entrée.

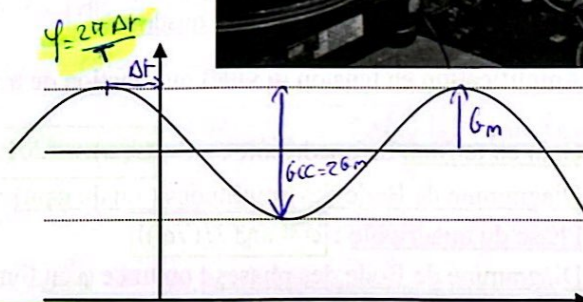


I Etude d'un filtre

1.) Grandeurs caractéristiques d'un signal sinusoïdal

Grandeur sinusoïdale : $g(t) = G_m \cos(\omega t + \phi) + \langle g \rangle$

où la valeur moyenne de g est $\langle g \rangle = \frac{1}{T} \int_0^T g(t) dt$



Pour toute la suite du cours, on prendra $\langle g \rangle = 0$ d'où $g(t) = G_m \cos(\omega t + \phi)$

Valeur efficace (ou valeur RMS): valeur du signal continu qui, traversant le même conducteur ohmique, provoque les mêmes pertes Joule moyennes.

$$I_{eff} = \sqrt{\langle i^2(t) \rangle} = \sqrt{\frac{1}{T} \int_0^T i^2(t) dt}$$

$$U_{eff} = \sqrt{\langle u^2(t) \rangle} = \sqrt{\frac{1}{T} \int_0^T u^2(t) dt}$$

$\frac{P}{u} = \frac{R}{u}$ — CVR
 Loi d'ohm $u(t) = R \cdot i(t)$
 Puissance instantanée : $p(t) = u(t) \cdot i(t) = \frac{u^2(t)}{R} = R \cdot i^2(t)$

Démo : Conducteur ohmique, en régime continu :

Loi d'ohm : $U = R \cdot I$ Puissance reçue : $P = U \cdot I = \frac{U^2}{R} = R \cdot I^2$

Conducteur ohmique, en régime périodique : Loi d'Ohm
 Puissance instantanée reçue :

Puissance moyenne :

$$P = \frac{1}{T} \int_0^T p(t) dt$$

$$P = \frac{1}{T} \int_0^T R i^2(t) dt = R \times \underbrace{\frac{1}{T} \int_0^T i^2(t) dt}_{I_{eff}^2} = R I_{eff}^2$$

$$P = \frac{1}{T} \int_0^T \frac{u^2(t)}{R} dt = \frac{1}{R} \times \underbrace{\frac{1}{T} \int_0^T u^2(t) dt}_{U_{eff}^2} = \frac{1}{R} U_{eff}^2$$

Signal sinusoïdal : $i(t) = I_m \cos(\omega t + \varphi_i)$

$u(t) = U_m \cos(\omega t + \varphi_u)$

$$T = \frac{2\pi}{\omega} = \frac{1}{f}$$

$$I_{eff} = \frac{I_m}{\sqrt{2}}$$

$$U_{eff} = \frac{U_m}{\sqrt{2}}$$

démo : $I_{eff}^2 = \frac{1}{T} \int_0^T i^2(t) dt$

$$= \frac{1}{T} \int_0^T I_m^2 \cos^2(\omega t + \varphi_i) dt$$

$$= \frac{I_m^2}{T} \int_0^T \cos^2(\omega t + \varphi_i) dt \quad \begin{matrix} \cos(2a) = 2\cos^2(a) - 1 \\ \rightarrow \cos^2(a) = \frac{\cos(2a) + 1}{2} \end{matrix}$$

$$= \frac{I_m^2}{2T} \int_0^T (1 + \cos(2\omega t + 2\varphi_i)) dt$$

$$I_{eff}^2 = \frac{I_m^2}{2T} \left[t + \frac{1}{2\omega} \sin(2\omega t + 2\varphi_i) \right]_0^T$$

$$I_{eff}^2 = \frac{I_m^2}{2T} \left(T + \frac{1}{2\omega} \sin(2\omega T + 2\varphi_i) - \frac{1}{2\omega} \sin(2\varphi_i) \right)$$

$$I_{eff}^2 = \frac{I_m^2}{2T} \left(T + \frac{\sin(2\omega T + 2\varphi_i) - \sin(2\varphi_i)}{2\omega} \right) \text{ car } \omega = \frac{2\pi}{T}$$

$$I_{eff}^2 = \frac{I_m^2}{2T} \left(T + \frac{\sin(4\pi + 2\varphi_i) - \sin(2\varphi_i)}{2\omega} \right)$$

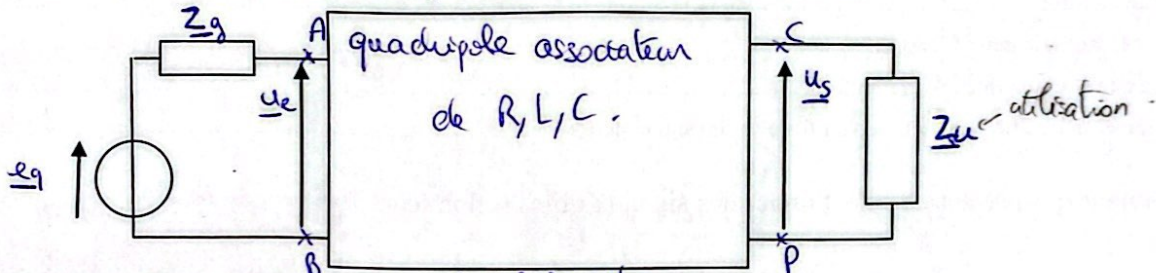
$$I_{eff}^2 = \frac{I_m^2}{2T} \left(T + \frac{\sin(2\varphi_i) - \sin(2\varphi_i)}{2\omega} \right)$$

$I_{eff} = \frac{I_m}{\sqrt{2}}$ car $\sin 2\pi$ - périodique donc $\sin(4\pi + 2\varphi_i) = \sin(2\varphi_i)$

2.) Définition d'un filtre

Quadrupôle : relié à l'extérieur par 4 bornes. **Linéaire** : ne contient que des dipôles linéaires.

Passif : ne contient pas de sources indépendantes de tension ou de courant.



En général, on débranche Z_u → quadrupôle à vide

3.) Diagramme de Bode du quadrupôle

Amplification en tension (à vide) ou fonction de transfert du quadrupôle :

$$H(j\omega) = \frac{u_s}{u_e} = \frac{U_{sm}}{U_{em}}$$

Gain en tension du quadrupôle : $G(\omega) = +20 \log |H|$ ~~log~~ $\log \neq \ln$

Diagramme de Bode des amplitudes (ou du gain) : on trace G en fonction de $\log \omega$.

Phase du quadrupôle : $\varphi = \arg(H(j\omega))$

Diagramme de Bode des phases : on trace φ en fonction de $\log \omega$.

Une **décade** est l'ensemble des pulsations comprises entre ω et 10ω .

Rq: octave : ensemble des pulsations comprises entre ω et 2ω

Rq importante: "Tracer le diagramme de Bode"
= Tracer les 2 diagrammes (amplitude + phase)

Rq: $\log x = \frac{\ln x}{\ln 10} = \frac{\ln x}{2.3}$
 $y = \log x \Leftrightarrow x = 10^y$

démo
 $u_e(t) = U_{em} \cos(\omega t + \varphi_e)$
 $\hookrightarrow \underline{u_e}(t) = U_{em} e^{j(\omega t + \varphi_e)} = U_{em} e^{j\omega t}$

$u_s(t) = U_{sm} \cos(\omega t + \varphi_s)$
 $\hookrightarrow \underline{u_s}(t) = U_{sm} e^{j(\omega t + \varphi_s)} = U_{sm} e^{j\omega t}$

amplitudes complexes: $\underline{U}_{em} = U_{em} e^{j\varphi_e}$, $\underline{U}_{sm} = U_{sm} e^{j\varphi_s}$

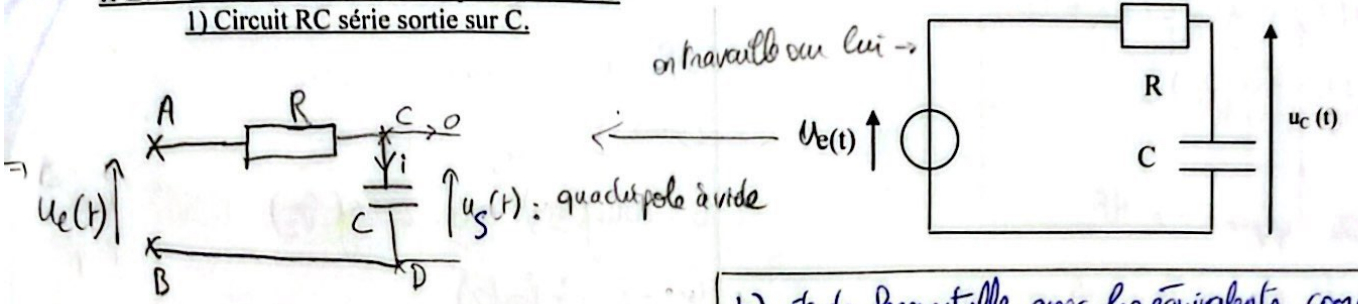
$$H = \frac{u_s}{u_e} = \frac{U_{sm} e^{j\omega t}}{U_{em} e^{j\omega t}} = \frac{U_{sm}}{U_{em}} = \frac{U_{sm} e^{j\varphi_s}}{U_{em} e^{j\varphi_e}} = \frac{U_{sm}}{U_{em}} e^{j(\varphi_s - \varphi_e)}$$

$$H = \frac{U_{sm}}{U_{em}} e^{j(\varphi_s - \varphi_e)}$$

$$|H| = \frac{U_{sm}}{U_{em}}$$

$$\varphi = \arg(H) \varphi_s - \varphi_e$$

II Etude détaillée de filtres du premier ordre
1) Circuit RC série sortie sur C.



a) Etude préliminaire:

$u_e = U_{em} e^{j\omega t}$ et $u_s = U_{sm} e^{j\omega t}$

fonction de transfert: $H = \frac{U_s}{U_e} = \frac{U_{sm}}{U_{em}} = \frac{U_{sm}}{U_{em}} e^{j(\phi_s - \phi_e)}$

$U_s = Z_C i$
 $U_e = (Z_R + Z_C) i$

$H = \frac{U_s}{U_e} = \frac{Z_C i}{(Z_R + Z_C) i} = \frac{Z_C}{Z_R + Z_C}$ *pont diviseur de tension*

$H = \frac{1/j\omega C}{1/j\omega C + R} \Rightarrow H = \frac{1}{1 + jRC\omega}$ ①

pulsation particulière $\omega_0 = \frac{1}{RC} \Rightarrow H = \frac{1}{1 + j\frac{\omega}{\omega_0}}$ ②

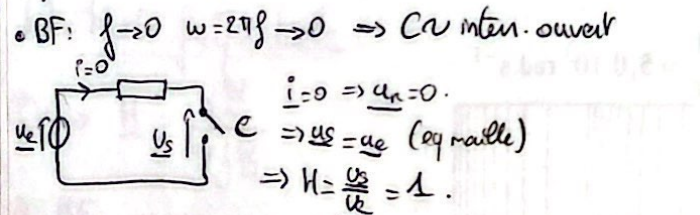
Rq1: $|H| = \frac{1}{\sqrt{1 + (\frac{\omega}{\omega_0})^2}}$ 1 et $(\frac{\omega}{\omega_0})^2$ ont la m^{ême} unité, donc $\frac{\omega}{\omega_0}$ est sans unité

Rq2: obtention de l'équation diff

$H = \frac{U_s}{U_e} = \frac{1}{1 + jRC\omega}$

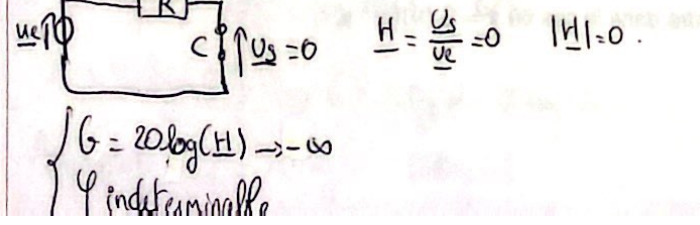
$\Rightarrow U_s (1 + jRC\omega) = U_e$
 $\Rightarrow U_s + RC \frac{dU_s}{dt} = U_e$

Rq3: schémas équivalents:



$|H| = 1, G = 20 \log(H) = 20 \log(1) = 0$
 Pour $\phi = \arg(H) = \arg(1) = 0$

• HF: $f \rightarrow +\infty, \omega = 2\pi f \rightarrow +\infty \Rightarrow CV$ fil.



b) étude fréquentielle avec les équivalents complexes

②: $H = \frac{1}{1 + j\frac{\omega}{\omega_0}}$

à BF: $f \rightarrow 0, \omega = 2\pi f \rightarrow 0: \omega \ll \omega_0, \frac{\omega}{\omega_0} \ll 1$ *négligeable*

$\Rightarrow 1 + j\frac{\omega}{\omega_0} \approx 1 \Rightarrow H \approx \frac{1}{1} \quad |H| \approx 1$
 $G = 20 \log(H) \approx 0$

Asymptote pour le gain: $\gamma = 0$ à BF
 $\phi = \arg(H) \approx \arg(1) \Rightarrow \phi \approx 0$
 Asymptote pour la phase: $\gamma_\phi = 0$ à BF

à HF: $f \rightarrow +\infty, \omega = 2\pi f \rightarrow +\infty: \omega \gg \omega_0, \frac{\omega}{\omega_0} \gg 1$

$\Rightarrow 1 + j\frac{\omega}{\omega_0} \approx j\frac{\omega}{\omega_0} \Rightarrow H \approx \frac{1}{j\frac{\omega}{\omega_0}}$
 $|H| \approx \frac{1}{\frac{\omega}{\omega_0}} \approx \frac{\omega_0}{\omega}$

$G = 20 \log(|H|) \approx 20 \log(\frac{\omega_0}{\omega})$
 $\Rightarrow G = 20 \log \omega_0 - 20 \log \omega$

Asymptote: $\gamma = 20 \log \omega_0 - 20 \log \omega$ pour le gain à H

Si on prend en abscisse (x) $\log \omega$, on obtient une droite de pente (-20) qui passe par le point A($\omega = \omega_0; \gamma = 0$)

Rq: unité de la pente (savoir juste l'unité: dB/déc)

Pour 1 décade:
 $\gamma(10\omega) - \gamma(\omega) = [20 \log \omega_0 - 20 \log(10\omega)] - [20 \log \omega_0 - 20 \log \omega]$
 $= -20 \log(10\omega) + 20 \log(\omega)$
 $= 20 \log(\frac{\omega}{10\omega})$
 $\gamma(10\omega) - \gamma(\omega) = -20 \log(10) = -20 \text{ dB}$

Quand la pulsation augmente d'une décade ($\times 10$), l'écart en l'asymptote diminue de 20

4
 $\varphi = \arg(H) \approx \arg\left(j\frac{\omega}{\omega_0}\right)$ d'après ③

$\varphi = \arg(1) - \arg\left(j\frac{\omega}{\omega_0}\right)$

$\varphi = -\frac{\pi}{2}$

Asymptote: $\varphi \approx -\frac{\pi}{2}$ à HF

Rq: Comportement intégrateur ou dérivateur (importante)

HF: $H = \frac{1}{j\omega\omega_0}$

$\frac{U_s}{U_e} = \frac{1}{j\omega\omega_0} \Rightarrow U_s j\omega\omega_0 \approx U_e$

$\Rightarrow U_s \approx \omega_0 \frac{U_e}{j\omega}$

$\Rightarrow U_s \approx \omega_0 \int U_e(t) dt$

Comportement intégrateur à HF:

En sortie, aux bornes de u_s , on obtient une primitive du signal.

Point particulier: $\omega = \omega_0$

② $\rightarrow H = \frac{1}{1+j} \Rightarrow |H| = \frac{1}{\sqrt{2}}$

$G = 20 \log(|H|) \Rightarrow G = 20 \log\left(\frac{1}{\sqrt{2}}\right)$

$G = -20 \times \frac{1}{2} \log(2)$

$G = -10 \log(2) = -3 \text{ dB}$

$\varphi = \arg(H) = \arg(1) - \arg(1+j) = -\frac{\pi}{4}$

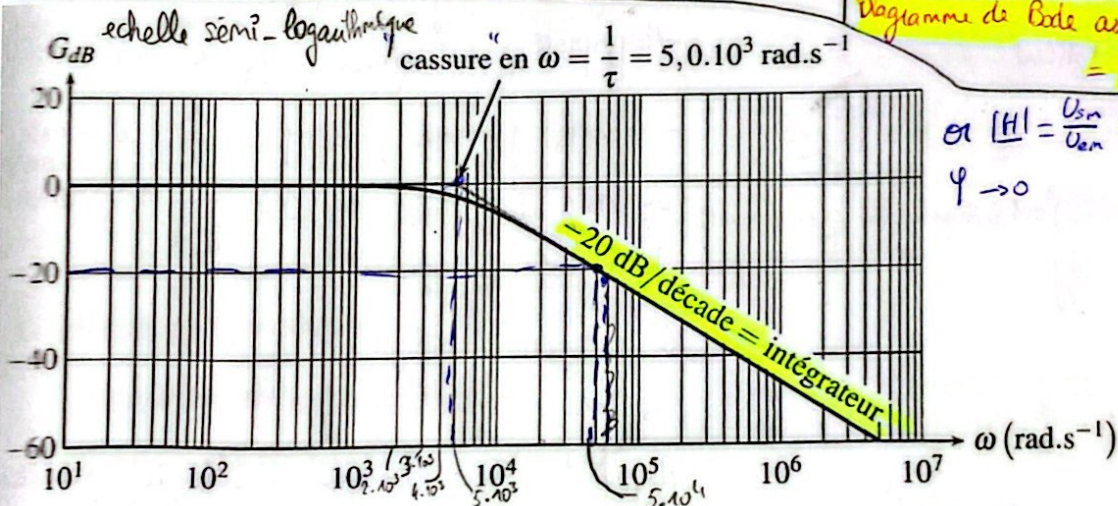
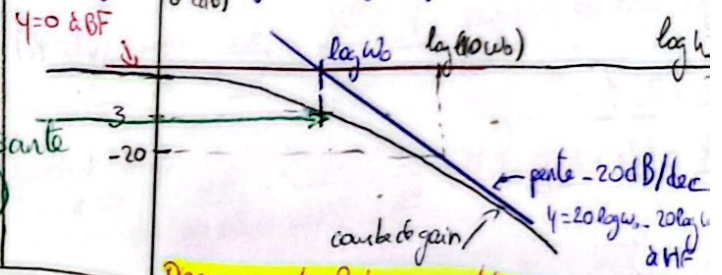


Figure 11.4 - Gain d'un passe-bas du premier ordre dans le cas où $\tau = 2,0 \cdot 10^{-4} \text{ s}$ (les asymptotes sont en gris).

et $|H| = \frac{U_{sm}}{U_{em}} \Rightarrow U_{sm} \approx U_{em}$
 $\varphi \rightarrow 0$

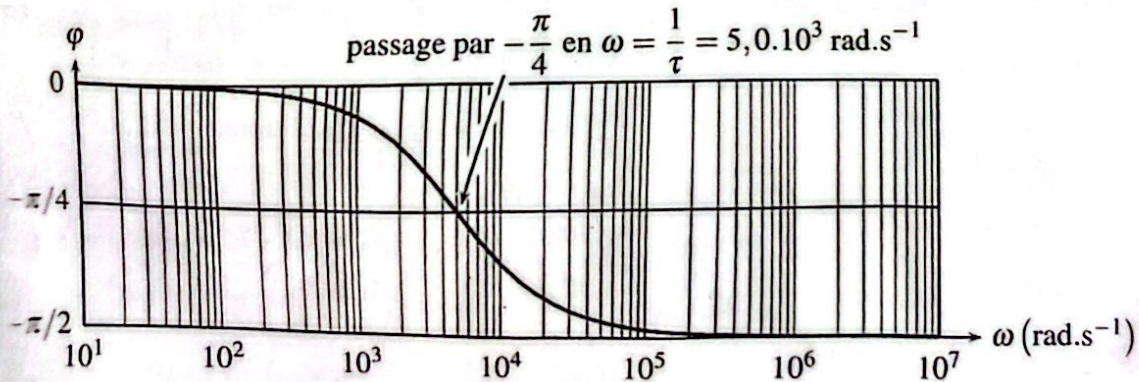
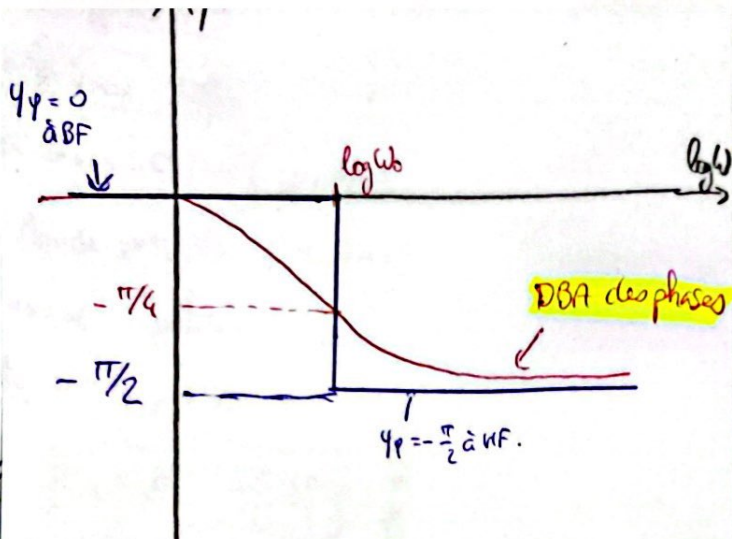


Figure 11.5 - Phase d'un passe-bas du premier ordre dans le cas où $\tau = 2,0 \cdot 10^{-4} \text{ s}$.



Rq importante: Calcul de la bande passante

Intervalle de pulsation au quel $|H| \geq \frac{H_{max}}{\sqrt{2}}$

$$G = 20 \log(|H|)$$

$$\Rightarrow 20 \log(|H|) \geq 20 \log\left(\frac{H_{max}}{\sqrt{2}}\right)$$

$$\Rightarrow G \geq 20 \log(H_{max}) - 20 \log(\sqrt{2})$$

$$\text{ou } G_{max} = 20 \log(H_{max})$$

$$\Rightarrow G \geq G_{max} - 3 \text{ dB}$$

Pulsation de coupure: $|H| = \frac{H_{max}}{\sqrt{2}}$ ← limite de la bande passante

$$\Leftrightarrow G = G_{max} - 3 \text{ dB}$$

$$\text{Ici, } G_{max} = 0, \Leftrightarrow H_{max} = 1$$

trouvons ω_c tq $G = -3 \text{ dB} \Leftrightarrow |H| = \frac{1}{\sqrt{2}} \Rightarrow \omega_c = \omega_0$

Bande passante (tq $G \geq -3 \text{ dB}$): $]0, \omega_0]$

C) analyse des courbes: (p4)

à BF: $\omega \rightarrow 0, \log \omega \rightarrow -\infty, G \rightarrow 0, |H| \rightarrow 1$

$$\text{or } |H| = \frac{U_{sm}}{U_{em}} \rightarrow 1 \Rightarrow U_{sm} \approx U_{em}$$

$$\varphi \rightarrow 0 \text{ donc } \varphi = \varphi_s - \varphi_e \rightarrow 0 \Rightarrow \varphi_s \approx \varphi_e$$

pas d'influence: le filtre laisse passer le signal à BF.

à HF: $\omega \rightarrow +\infty, \log \omega \rightarrow +\infty, G \rightarrow -\infty, |H| \rightarrow 0$

$$\Rightarrow U_{sm} \approx 0$$

$$\varphi \rightarrow -\frac{\pi}{2}, \varphi_s - \varphi_e \approx -\frac{\pi}{2}$$

donc $s(t)$ est en quadrature retard sur $e(t)$

à HF, $u_s(t) \approx 0$, Atténuation du signal de sortie

+ comportement intégrateur sur l'asymptote:

⇒ Filtre passe bas.

2) Circuit RC série sortie sur R.

a) Etude préliminaire

$$\frac{u_s}{u_e} = \frac{Z_R}{Z_C + Z_R} = \frac{R}{R + \frac{1}{j\omega C}}$$

$$= \frac{Rj\omega C}{1 + j\omega RC} \text{ où } \omega_0 = \frac{1}{RC}$$

$$H = \frac{j \frac{\omega}{\omega_0}}{1 + j \frac{\omega}{\omega_0}}$$

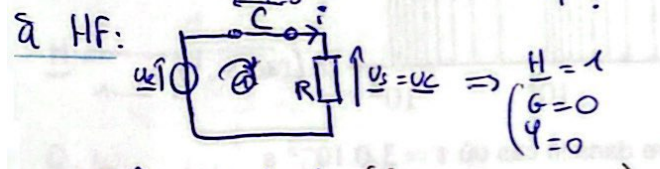
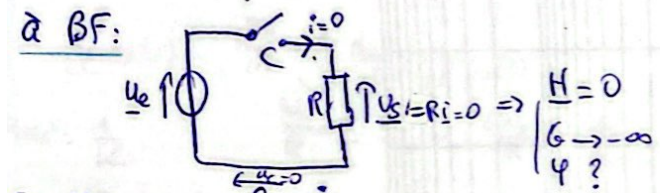
1: Obtention de l'équa diff:

$$I = \frac{u_s}{Z_{eq}} = \frac{Rj\omega C}{1 + j\omega RC}$$

$$\Rightarrow u_s(1 + j\omega RC) = u_e Rj\omega C$$

$$\Rightarrow u_s + RC \frac{du_s}{dt} = RC \frac{du_e}{dt}$$

Rq2: schémas équivalents:



⇒ Filtre passe haut (laisse passer les HF, atténue les BF)

b) étude fréquentielle

$$\text{②} \rightarrow H = \frac{j \frac{\omega}{\omega_0}}{1 + j \frac{\omega}{\omega_0}}$$

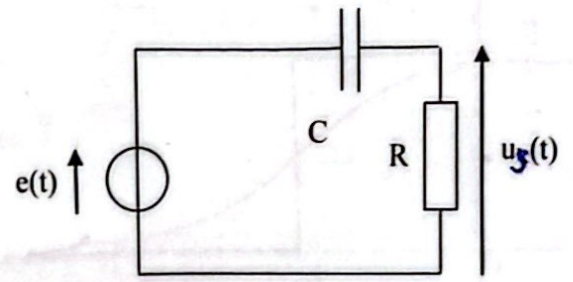
à BF: $\omega \rightarrow 0$, $\omega \ll \omega_0$ donc $\frac{\omega}{\omega_0} \ll 1$

$$\Rightarrow 1 + j \frac{\omega}{\omega_0} \approx 1 \Rightarrow H \approx \frac{j \frac{\omega}{\omega_0}}{1}$$

$$\Rightarrow H \approx j \frac{\omega}{\omega_0} \text{ ③} \Rightarrow |H| \approx \frac{\omega}{\omega_0}$$

$$G \approx 20 \log\left(\frac{\omega}{\omega_0}\right) \Rightarrow G \approx 20 \log \omega - 20 \log \omega_0$$

Asymptote: $\gamma = 20 \log \omega - 20 \log \omega_0$



Pointe qui passe par $A(\omega = \omega_0; \gamma = 0)$
de pente $+20$ dB/dec

$$\varphi = \arg(H) \Rightarrow \varphi \approx \arg\left(j \frac{\omega}{\omega_0}\right) \Rightarrow \varphi \approx \frac{\pi}{2}$$

$$Rq: \text{③} \rightarrow H = \frac{u_s}{u_e} \approx j \frac{\omega}{\omega_0}$$

$$\Rightarrow u_s \approx \frac{1}{\omega_0} j \omega u_e \Rightarrow u_s = \frac{1}{\omega_0} \frac{d(u_e(t))}{dt}$$

donc comportement dérivateur à BF.

à HF: $\omega \rightarrow +\infty$, $\log \omega \rightarrow +\infty \Rightarrow \omega_0 \ll \omega$ donc $\frac{\omega}{\omega_0} \gg 1$

$$1 + j \frac{\omega}{\omega_0} \approx j \frac{\omega}{\omega_0} \text{ ④} \Rightarrow H \approx \frac{j \frac{\omega}{\omega_0}}{j \frac{\omega}{\omega_0}} \Rightarrow H \approx 1$$

$$|H| \approx 1 \Rightarrow G = 20 \log(H) = 20 \log 1 \Rightarrow G \approx 0$$

Asymptote $\gamma = 0$ à HF

$$\varphi = \arg(H) \approx \arg(1) \Rightarrow \varphi \approx 0 \text{ asymptote } \varphi = 0$$

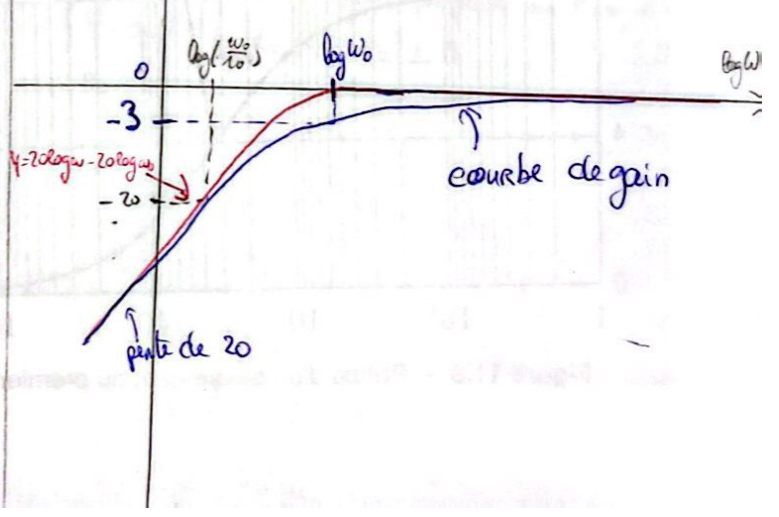
• Point particulier: $\omega = \omega_0$ $H = \frac{1}{1+j}$

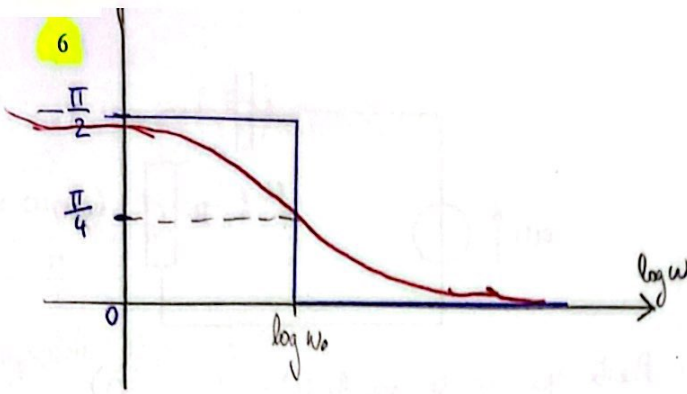
$$|H| = \frac{1}{\sqrt{2}} \quad G = 20 \log\left(\frac{1}{\sqrt{2}}\right) = -20 \log \sqrt{2}$$

$$\Rightarrow G = -10 \log 2, \quad G = -3 \text{ dB}$$

$$\varphi = \arg(H) = \arg(j) - \arg(1+j) = \frac{\pi}{2} - \frac{\pi}{4}$$

$$G(\text{dB}) \Rightarrow \varphi = \frac{\pi}{4}$$





c) analyse des courbes

à BF: $G < 0$, $|H| < 1$ $|H| = \frac{U_{sm}}{U_{em}} \Rightarrow U_{sm} < U_{em}$
 $\varphi \rightarrow \frac{\pi}{2}$
 Le signal de sortie est atténué et déphasé (en quadrature avance sur le signal d'entrée)
 Il est en + dérivé (der.)

à HF: $G \rightarrow 0$ $|H| \approx 1$ $U_{sm} \approx U_{em}$
 $\varphi \rightarrow 0$ $\varphi_s \approx \varphi_e$
 → Pas d'influence du filtre
 ⇒ Filtre passé haut, laisser passer le signal à HF et l'atténue à BF.

suite feuille blanche (2)

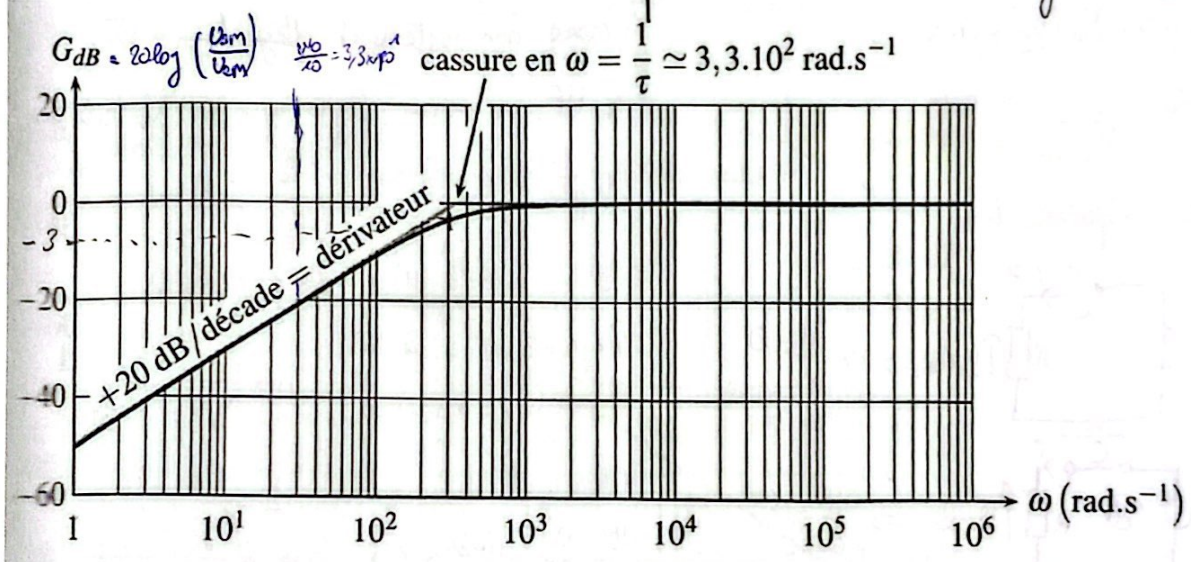


Figure 11.7 - Gain d'un passe-haut du premier ordre dans le cas où $\tau = 3,0 \cdot 10^{-3} \text{ s}$ (les asymptotes sont en gris).

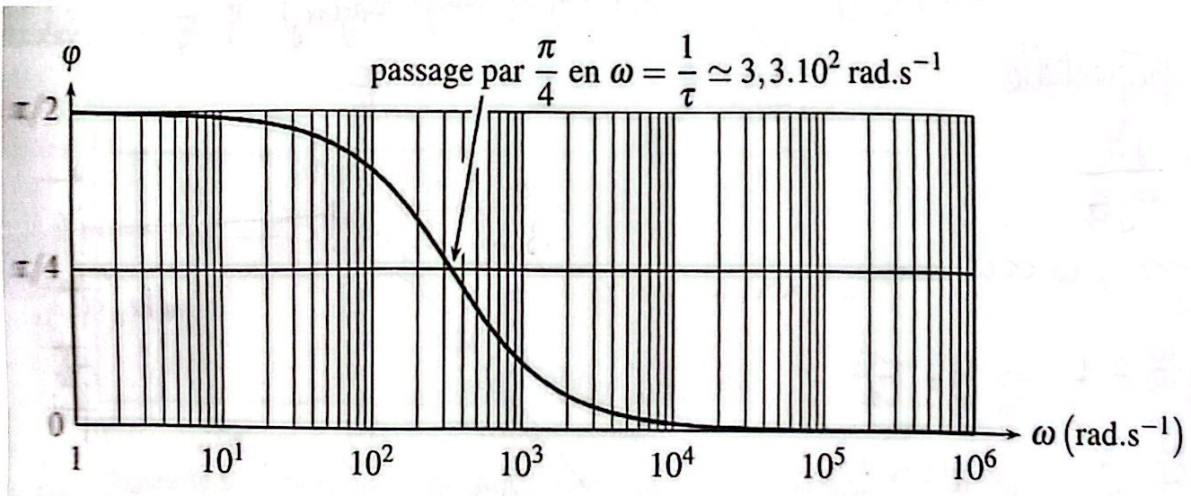


Figure 11.8 - Phase d'un passe-haut du premier ordre dans le cas où $\tau = 3,0 \cdot 10^{-3} \text{ s}$.

Bande passante:

$$G \geq G_{\max} - 3\text{dB}$$

$$\text{Ici } G_{\max} = 0 \Rightarrow G \geq -3\text{dB}$$

\Rightarrow Bande passante: $[\omega_0, +\infty[$

où $\omega_0 = \omega_c$ pulsation de coupure

$$\text{Rq } G = G_{\max} - 3\text{dB}$$

$$\text{Rq: } \varphi = \omega \Delta t = \frac{2\pi}{T} \Delta t$$

$$\Rightarrow \Delta t = \frac{T\varphi}{2\pi} \Rightarrow \varphi = \frac{\pi}{2}$$

$$\Rightarrow \Delta t = \frac{T}{2\pi} \times \frac{\pi}{2} = \frac{T}{4}$$

III Etude détaillée de filtres du second ordre
1) Circuit RLC série sortie sur C.

$$\underline{H} = \frac{U_s}{U_c} = \frac{Z_c}{Z_c + Z_R + Z_L}$$
 part diviseur de tension

$$\underline{H} = \frac{\frac{1}{j\omega C}}{j\omega L + R + \frac{1}{j\omega C}} \quad (1)$$

$$\underline{H} = \frac{1}{1 + jRC\omega - \omega^2 LC}$$

Rq1: Equation différentielle

$$\underline{H} = \frac{U_s}{U_c} \rightarrow \frac{\frac{1}{j\omega C}}{j\omega L + R + \frac{1}{j\omega C}}$$

$$\Rightarrow U_c \times \frac{1}{j\omega C} = U_s (j\omega L + R + \frac{1}{j\omega C})$$

$$\Rightarrow \frac{1}{C} \int u_c(t) dt = L \frac{du_s}{dt} + R U_s + \frac{1}{C} \int u_s(t) dt$$

$$\Rightarrow \frac{1}{LC} u_c(t) = \frac{d^2 u_s}{dt^2} + \frac{R}{L} \frac{du_s}{dt} + \frac{1}{LC} u_s(t)$$

$$\omega_0^2 = \frac{1}{LC} \quad \frac{\omega_0}{Q} = \frac{R}{L} \Rightarrow Q = \frac{L\omega_0}{R} = \frac{\omega_0 L}{RC}$$

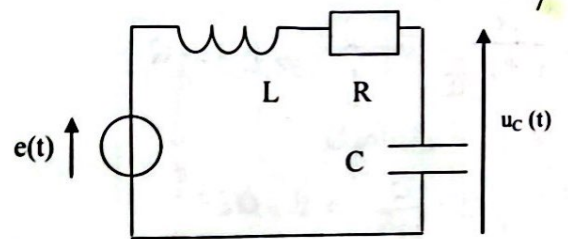
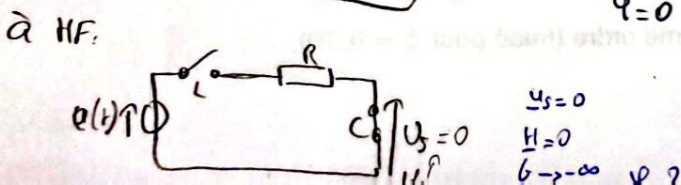
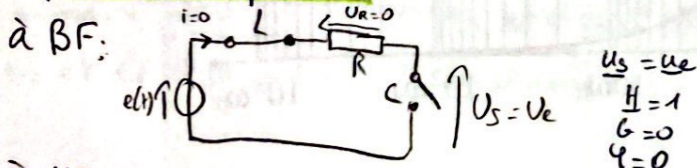
$$\underline{H} = \frac{1}{1 - \frac{\omega^2}{\omega_0^2} + j \frac{RC\omega_0}{L} \frac{\omega}{\omega_0}}$$

$$Q = \frac{L\omega_0}{R} = \frac{L\omega_0^2}{R\omega_0} = \frac{L}{R\omega_0} \times \frac{1}{LC} = \frac{1}{RC\omega_0}$$

$$\underline{H} = \frac{1}{1 - \frac{\omega^2}{\omega_0^2} + j \frac{\omega}{\omega_0 Q}} \quad , \quad \omega_c = \frac{\omega}{\omega_0} \quad \text{pulsation réduite}$$

$$\Rightarrow \underline{H} = \frac{1}{1 - x^2 + j \frac{x}{Q}} \quad (2)$$

Rq2: Schémas équivalents



b) étude fréquentielle:

$$\textcircled{2} \rightarrow \underline{H} = \frac{1}{1 - x^2 + j \frac{x}{Q}} \quad \text{où } x = \frac{\omega}{\omega_0}$$

à BF: $\omega \rightarrow 0 \quad \log \omega \rightarrow -\infty, \omega \ll \omega_0 \Rightarrow x = \frac{\omega}{\omega_0} \ll 1$
 $f \rightarrow 0$
 $x \rightarrow 0$

$1 - x^2 + j \frac{x}{Q} \approx 1$ (polynôme \approx égal terme de + bas degré quand $x \rightarrow 0$)

$\underline{H} \approx 1 \Rightarrow |\underline{H}| = 1$

$G = 20 \log(|\underline{H}|) \approx 0 \quad \varphi = 0$

$\varphi = \arg(\underline{H}) \approx \arg(1) \approx 0 \Rightarrow \varphi = 0$

à HF: $\omega \rightarrow +\infty \quad \log \omega \rightarrow +\infty, \omega \gg \omega_0, x = \frac{\omega}{\omega_0} \gg 1$
 $x \rightarrow +\infty$

$1 - x^2 + j \frac{x}{Q} \approx -x^2 \quad x^2 \gg \frac{x}{Q}$
(polynôme \approx terme de + gd degré qd $x \rightarrow +\infty$)

$\underline{H} \approx \frac{1}{-x^2} \quad |\underline{H}| \approx \frac{1}{x^2} \quad \varphi \approx \pm \pi$

$G = 20 \log(|\underline{H}|) \approx 20 \log(\frac{1}{x^2}) \approx -40 \log(x)$

$\varphi = -40 \log x$, droite de pente -40 dB/dec qui passe par $B(x=1, \varphi=0)$

Rq: $x = \frac{\omega}{\omega_0} \Rightarrow \varphi = -40 \log \omega + 40 \log \omega_0$

droite de pente -40 dB/dec qui passe par $A(\omega=\omega_0, \varphi=0)$

$\varphi = \arg(\underline{H}) = \arg(-\frac{1}{x^2}) = \pm \pi$

Rq: $\underline{H} = \frac{U_s}{U_c} \approx -\frac{1}{x^2} \approx \frac{1}{j^2 x^2}$

or $x = \frac{\omega_0}{\omega}, \underline{H} = \frac{U_s}{U_c} = \frac{\omega_0^2}{j^2 \omega^2}$

$\Rightarrow U_s = \omega_0^2 \frac{U_c}{(j\omega)^2}$

↳ Double intégration: u_c est intégrée 2x de suite:

$(U_s(j\omega))^2 = \omega_0^2 u_c$

$\Rightarrow \frac{d^2 u_c}{dt^2} = \omega_0^2 u_c$

• point particulier: $\omega = \omega_0, z = 1$

$$\underline{H} = \frac{1}{1 - 1 + j\frac{1}{Q}} = \frac{Q}{j} \Rightarrow \underline{H} = -jQ$$

$$|\underline{H}| = Q, G = 20 \log Q$$

$$\varphi = e^{j\frac{\pi}{2}}, \underline{H} = \frac{Q}{e^{j\frac{\pi}{2}}} \Rightarrow \underline{H} = Q e^{-j\frac{\pi}{2}}$$

$$\varphi = \arg(\underline{H}) = -\frac{\pi}{2}$$

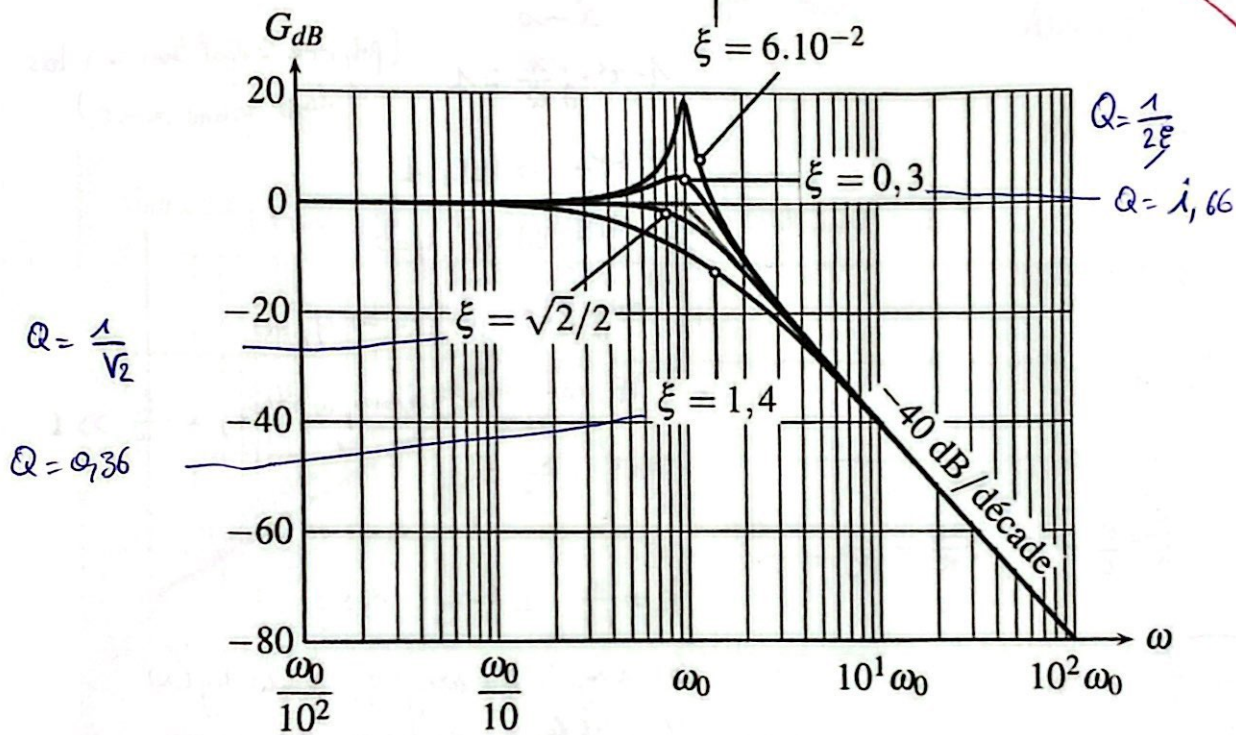
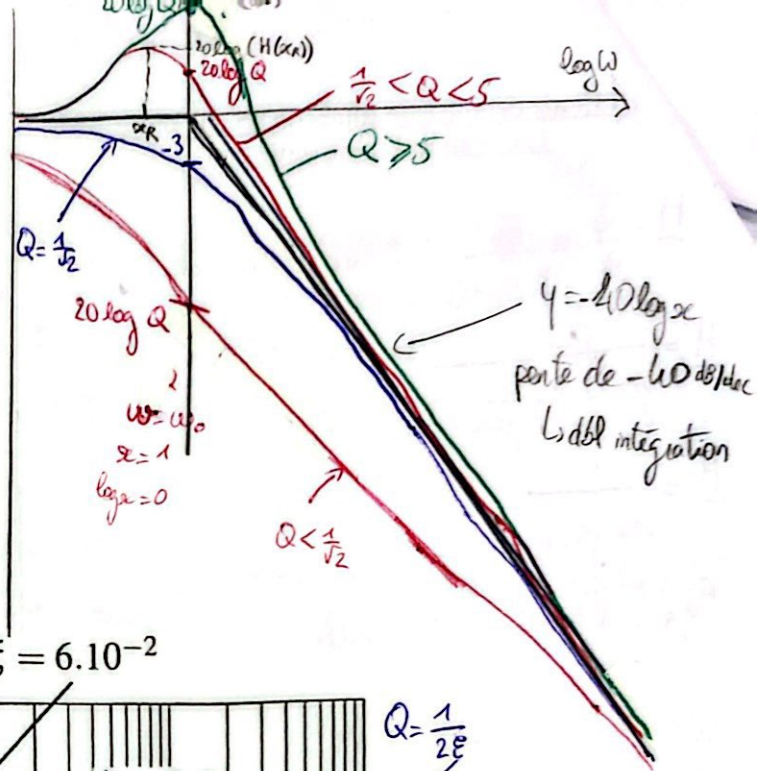


Figure 11.16 – Gain d'un passe-bas du deuxième ordre (les asymptotes sont en gris).

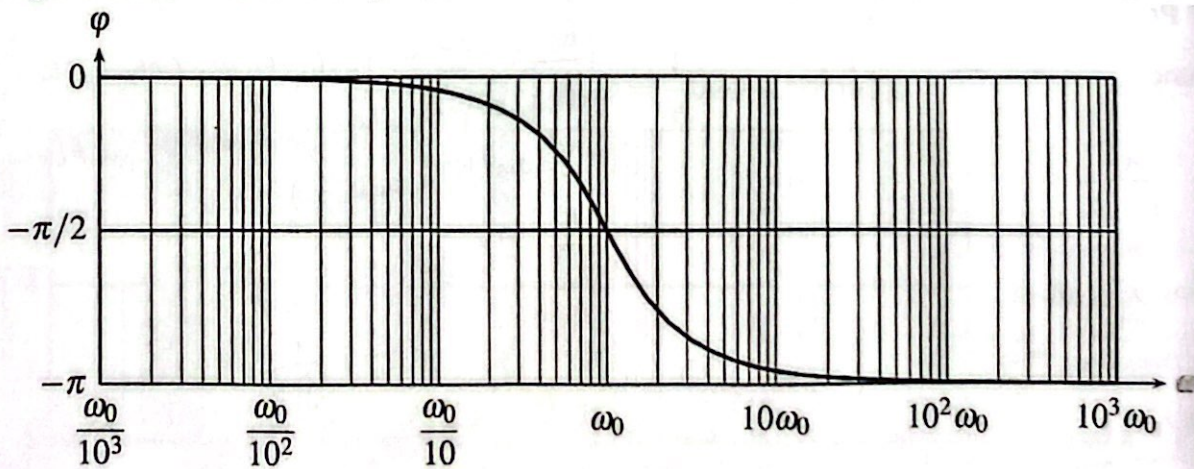
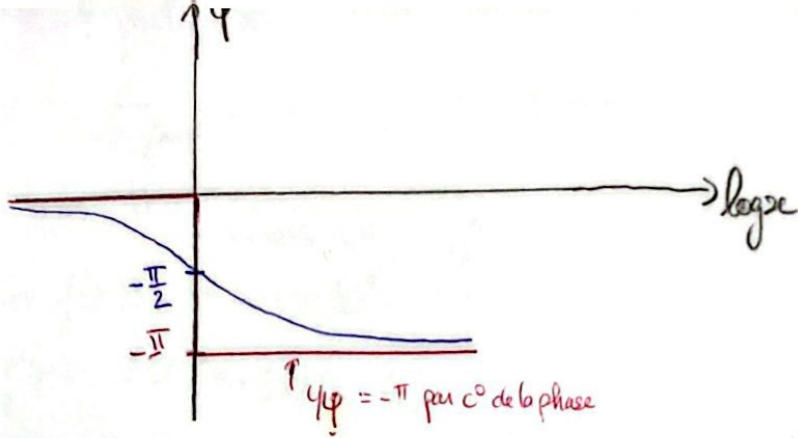


Figure 11.15 – Phase d'un passe-bas du deuxième ordre (tracé pour $\xi = 0,70$).



Rq: Etude du max: (courbe rouge haute)

$$|H| = \frac{1}{\sqrt{(1-x^2)^2 + \frac{x^2}{Q^2}}$$

$$f(x) = (1-x^2)^2 + \frac{x^2}{Q^2} \rightarrow |H| = \frac{1}{\sqrt{f(x)}}$$

$$f(x) = (1-x)^2 + \frac{x}{Q^2} \text{ où } x = x^2$$

$$f'(x) = -2(1-x) + \frac{1}{Q^2}$$

$$f'(x) = 0 \Leftrightarrow -2(1-x) + \frac{1}{Q^2} = 0$$

$$\Leftrightarrow 2(1-x) = \frac{1}{Q^2}$$

$$\Leftrightarrow 1-x = \frac{1}{2Q^2}$$

$$\Leftrightarrow x = 1 - \frac{1}{2Q^2}$$

$$x > 0 \Leftrightarrow 1 - \frac{1}{2Q^2} > 0$$

$$\Leftrightarrow \frac{1}{2Q^2} < 1$$

$$\Leftrightarrow Q^2 > \frac{1}{2}$$

$$\Leftrightarrow Q > \frac{1}{\sqrt{2}}$$

* \nearrow

C) étude des courbes:

à BF: $G \rightarrow 0$ Pas d'effet sur le signal
 $\varphi \rightarrow 0$ $u_s \approx u_e$

à HF: $G < 0$ le signal est atténué et déphasé
 $\varphi \rightarrow -\pi$ (opposition de phase)

+ double intégration

Filter passe-bas avec résonance (amplification)

en ω_R , pour $Q > \frac{1}{\sqrt{2}}$

$$* : x_R = \sqrt{1 - \frac{1}{2Q^2}} < 1$$

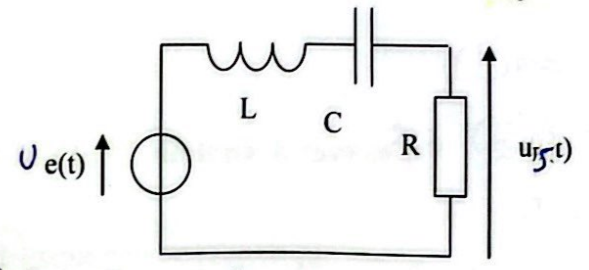
existe si $Q > \frac{1}{\sqrt{2}}$

$$f(x_R) \Rightarrow H(\omega_R) = \frac{1}{\sqrt{f(x_R)}} = \frac{2Q^2}{\sqrt{4Q^2 - 1}}$$

à retrouver

$$x_R = \frac{\omega_R}{\omega_0} < 1 \Rightarrow \omega_R < \omega_0$$

2) Circuit RLC série sortie sur R.



a) étude préliminaire

Pont diviseur de tension

$$\underline{H} = \frac{U_s}{U_e} = \frac{R}{R + j\omega L + \frac{1}{j\omega C}} \quad (1)$$

$$\underline{H} = \frac{1}{1 + j\left(\frac{\omega L}{R} - \frac{1}{\omega RC}\right)}$$

fait apparaître $x = \frac{\omega}{\omega_0}$

$$\underline{H} = \frac{1}{1 + j\left(\frac{\omega L \omega_0}{R} \times \frac{\omega}{\omega_0} - \frac{1}{RC \omega_0} \times \frac{\omega_0}{\omega}\right)}$$

$$\underline{H} = \frac{1}{1 + j\left(\frac{L \omega_0}{R} x - \frac{1}{RC \omega_0} \times \frac{1}{x}\right)}$$

pose $Q = \frac{L \omega_0}{R} = \frac{1}{RC \omega_0}$ à savoir retrouver

car, $\underline{H} = \frac{1}{1 + jQ\left(x - \frac{1}{x}\right)}$ ↳ passer par équ. diff

Rq1 ↓

$\Rightarrow \frac{L}{R} \omega_0 = \frac{1}{RC \omega_0}$

$\Rightarrow \omega_0^2 = \frac{1}{LC} \Rightarrow \omega_0 = \frac{1}{\sqrt{LC}}$

$\Rightarrow Q = \frac{L}{R} \times \frac{1}{\sqrt{LC}} \Rightarrow Q = \frac{\sqrt{L}}{R \sqrt{C}}$

q1: obtenir l'équa diff

$$\Rightarrow \frac{U_s}{U_e} = \frac{R}{R + j\omega L + \frac{1}{j\omega C}}$$

on met sous forme canonique et on peut retrouver ω_0 et Q (caractéristiques du circuit RLC)

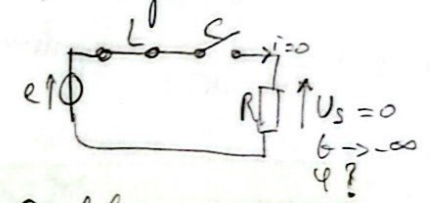
Rq2: schémas équivalents:

à BF: C n'intervient, L n'agit

$\omega \rightarrow 0$

$\underline{H} \rightarrow 0$

$\Rightarrow U_s \rightarrow 0$

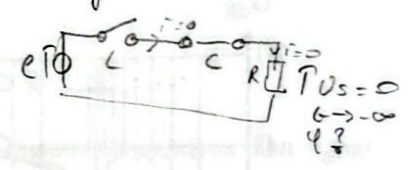


à HF: L n'intervient, C n'agit

$\omega \rightarrow \infty$

$\underline{H} \rightarrow 0$

$\Rightarrow U_s \rightarrow 0$



demo des "n":

$\underline{Z}_L = j\omega L = \frac{U_m}{I_m} \Rightarrow U_m = \omega L I_m$

$\omega \rightarrow 0, U_m \rightarrow 0 \forall I_m$, L n'agit

$\omega \rightarrow \infty, I_m \rightarrow 0 \forall U_m$, L n'intervient.

$\underline{Z}_C = \frac{1}{j\omega C} = \frac{U_m}{I_m} \Rightarrow I_m = \omega C U_m$

$\omega \rightarrow 0, I_m \rightarrow 0 \forall U_m$, C n'intervient.

$\omega \rightarrow \infty, U_m \rightarrow 0 \forall I_m$, C n'agit

b) Etude fréquentielle

$$\underline{H} = \frac{1}{1 + jQ\left(x - \frac{1}{x}\right)}$$

à BF: $\omega \rightarrow 0, x = \frac{\omega}{\omega_0} \rightarrow 0$ donc $x \ll 1$.

$\Rightarrow \frac{1}{x} \rightarrow \infty$

$\Rightarrow x - \frac{1}{x} \approx -\frac{1}{x}$

$\Rightarrow 1 + jQ\left(x - \frac{1}{x}\right) \approx 1 - j\frac{Q}{x}$

de même $\frac{Q}{x} \gg 1$

donc $1 - j\frac{Q}{x} \approx -j\frac{Q}{x}$

$\Rightarrow \underline{H} \approx \frac{1}{-j\frac{Q}{x}} \approx j\frac{x}{Q}$

$\Rightarrow |\underline{H}| \approx \frac{x}{Q}$

$G = 20 \log\left(\frac{x}{Q}\right) = 20 \log x - 20 \log Q$

$Y = 20 \log x - 20 \log Q$ asymptote BF de gain

$$\varphi = \arg(H)$$

$$\varphi \approx (j \frac{x}{Q}) \in \mathbb{R}$$

$$\varphi \approx \frac{\pi}{2}$$

Rq 3: $H = \frac{U_s}{U_e} \approx j \frac{x}{Q}$

$$\Rightarrow U_s \approx j \frac{\omega}{\omega_0} \times \frac{1}{Q} U_e$$

$$\Rightarrow \underline{U_s} \approx \frac{1}{\omega_0 Q} \frac{dU_e}{dt} \quad \text{comportement dérivateur}$$

$$-\frac{1}{x} \rightarrow 0$$

$$x - \frac{1}{x} \approx x$$

$$1 + jQx \approx jQx \text{ car } x \gg 1$$

$$H \approx \frac{1}{jQx} \approx -j \frac{1}{Qx}$$

$$|H| = \frac{1}{Qx} \Rightarrow G = 20 \log \left(\frac{1}{Qx} \right)$$

$$\Rightarrow G = -20 \log(Qx) = -20 \log x - 20 \log Q$$

$$\varphi = -20 \log x - 20 \log Q \text{ asymptote à HF: } \begin{cases} \text{pente: } -20 \text{ dB/déc} \\ \text{passant par } A(1, -20 \log Q) \end{cases}$$

$$\varphi = \arg(H) = \arg(-j \frac{1}{Qx}) \in \mathbb{R}$$

$$\varphi = -\frac{\pi}{2}$$

$$H = \frac{U_s}{U_e} \approx -j \frac{1}{Qx} \Rightarrow U_s = -j \frac{\omega}{\omega_0} \times \frac{1}{Q} U_e$$

$$\underline{U_s} = -\frac{1}{\omega_0 Q} \frac{dU_e}{dt} \quad \text{comportement dérivateur}$$

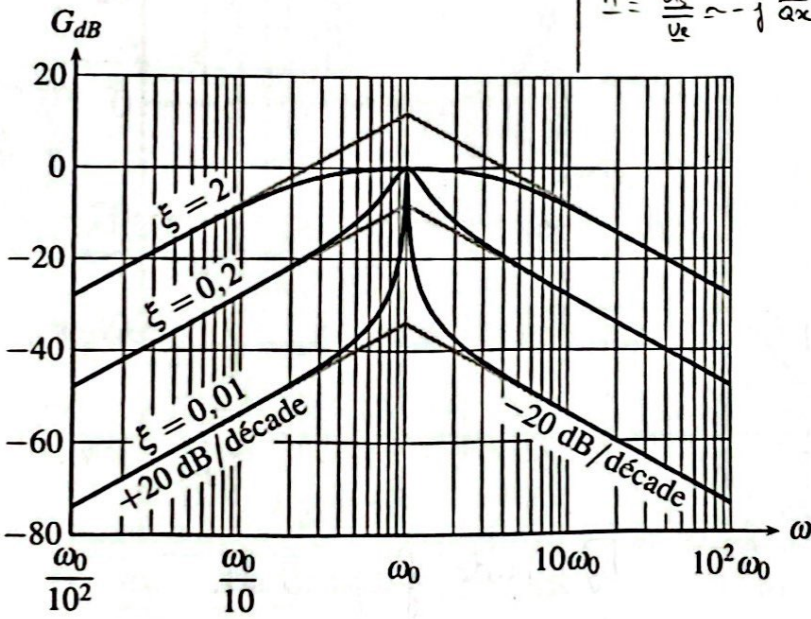


Figure 11.18 – Gain d'un passe-bande du deuxième ordre (les expressions asymptotiques sont en gris).

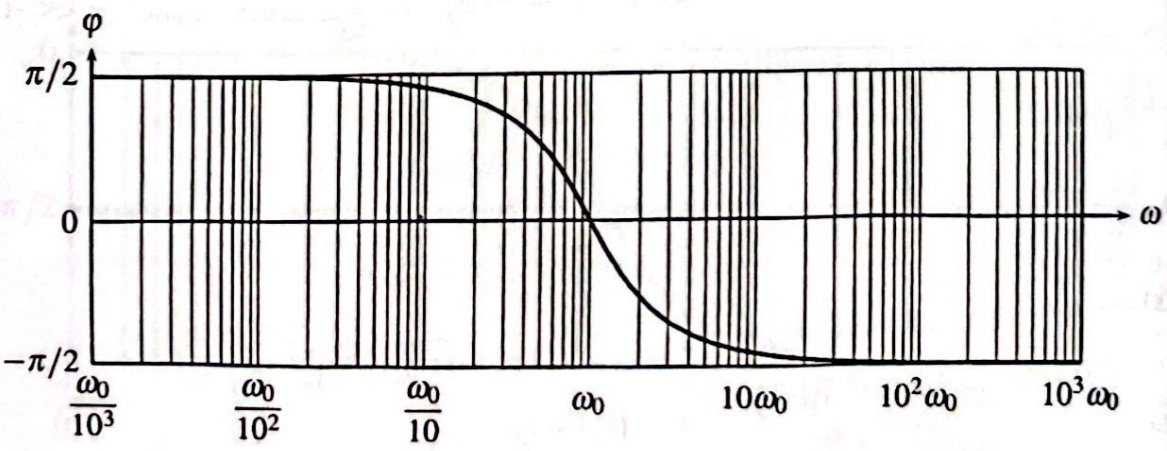


Figure 11.19 – Phase d'un passe-bande du deuxième ordre (tracé pour ξ = 0,70).

Point particulier: $x=1, \omega=\omega_0$

$$H = \frac{1}{1+j\omega x} = 1, G=0, \varphi=0.$$

Rq2) $|H| = \frac{1}{\sqrt{1+Q^2(x-\frac{1}{x})^2}} = \frac{1}{\sqrt{f(\omega)}}$

$$\Rightarrow f(\omega) = 1 + Q^2(x - \frac{1}{x})^2.$$

$$f'(\omega) = 2Q^2(1 + \frac{1}{x^2})(x - \frac{1}{x}).$$

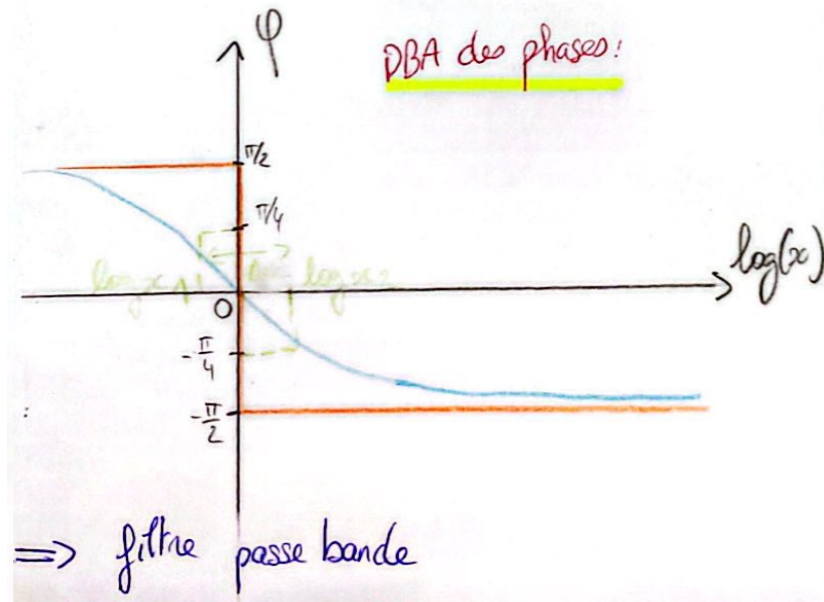
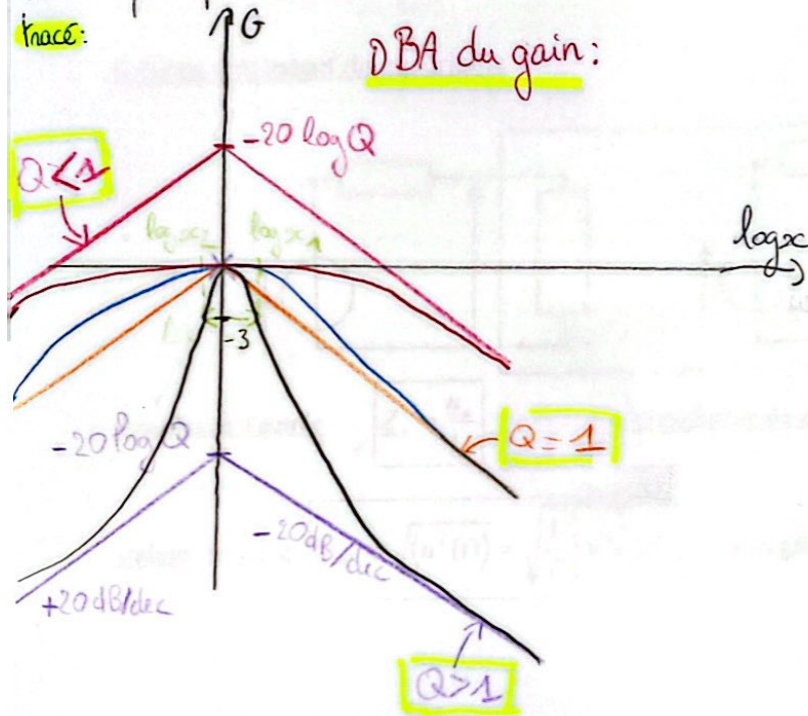
$$f'(\omega) = 0 \Leftrightarrow x - \frac{1}{x} = 0$$

$$\Leftrightarrow x^2 - 1 = 0$$

$$\Leftrightarrow x = \pm 1. \text{ or } x > 0$$

$$\Leftrightarrow \omega = \omega_0$$

donc le point particulier est le maximum trace:



\Rightarrow filtre passe bande

Rq: Calcul de la BP:

$$G \geq G_{max} - 3 \text{ dB}$$

$$\Leftrightarrow |H| \geq \frac{H_{max}}{\sqrt{2}}$$

fréquences de coupure: $H = \frac{H_{max}}{\sqrt{2}}$

$$\Rightarrow \frac{1}{\sqrt{1+Q^2(x-\frac{1}{x})^2}} = \frac{1}{\sqrt{2}}$$

$$\Rightarrow 1+Q^2(x-\frac{1}{x})^2 = 2.$$

$$\Rightarrow (Q(x-\frac{1}{x}))^2 = 1.$$

$$\Rightarrow Q(x-\frac{1}{x}) = \pm 1.$$

$$\Rightarrow x - \frac{1}{x} = \pm \frac{1}{Q}.$$

$$\Rightarrow x^2 \pm \frac{1}{Q}x - 1 = 0.$$

$$\Delta = \frac{1}{Q^2} + 4 = \frac{1+4Q^2}{Q^2}$$

$$x = \frac{\pm \frac{1}{Q} \pm \sqrt{\frac{1}{Q^2} + 4}}{2}$$

positives:

$$x_1 = \frac{\frac{1}{Q} + \sqrt{\frac{1}{Q^2} + 4}}{2} \text{ et } x_2 = \frac{-\frac{1}{Q} + \sqrt{\frac{1}{Q^2} + 4}}{2}$$

$$\Delta x = \Delta \frac{\omega}{\omega_0} = \frac{1}{Q}$$

$$\Rightarrow \Delta \omega = \frac{\omega_0}{Q}$$

$$\tan \varphi_0 = Q(x - \frac{1}{x})$$

pour $x_1, x_2, \tan \varphi_0 = \pm 1 \Rightarrow \varphi_0 = \pm \frac{\pi}{4}$

c) étude des courbes

$$\xi = 2 \Rightarrow Q = 0,25$$

$$\xi = 0,2 \Rightarrow Q = 2,5$$

$$\xi = 0,01 \Rightarrow Q = 50$$

$$Q = \frac{1}{2\xi} \quad \text{***}$$

\Rightarrow filtre très sélectif, sélectionne une seule pulsation ω_0

En sortie, le signal est non nul seulement si la pulsation est ω_0 (résonance aiguë à ω_0)

IV Filtrage d'un signal non sinusoïdal

1.) Théorème de Fourier

Un théorème mathématique important découvert au début du **XIX^{ème}** siècle par le mathématicien et physicien français Joseph Fourier indique que :

Tout signal périodique de fréquence f_S et de **forme quelconque** peut se reconstituer par la superposition de signaux sinusoïdaux de fréquences multiples de f_S : $0, f_S, 2f_S, \dots, nf_S, \dots$. Il peut donc s'écrire sous la forme :

$$s(t) = A_0 + \sum_{n=1}^{\infty} A_n \cos(2\pi n f_S t + \varphi_n), \tag{2.2}$$

où les A_n sont des constantes positives et les φ_n des constantes.

$$s(t) = A_0 + \sum_{n=1}^{\infty} A_n \cos(\omega_n t + \varphi_n) \text{ où } \omega_n = n \omega_s \text{ et } \omega_s = 2\pi f_s$$

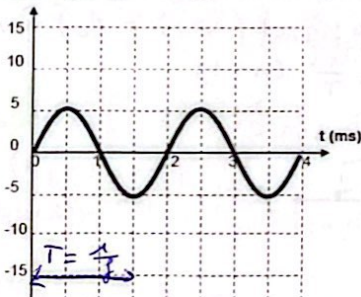
A_0 est la **composante continue** du signal, ou valeur moyenne ou offset.

A_1 est l'amplitude du **signal fondamental** de fréquence f_S .

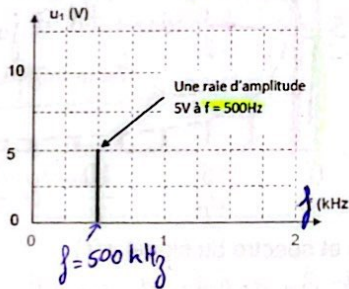
Les A_n sont les amplitudes des **harmoniques** de fréquence $f_n = n f_S$ de rang $n \geq 2$.

Analyse spectrale : Opération qui consiste à déterminer la décomposition en signaux sinusoïdaux d'un signal donné.

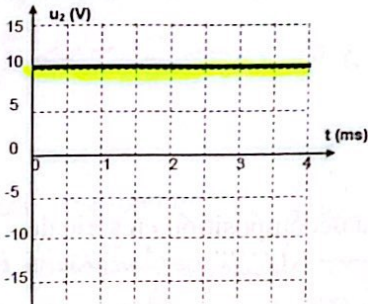
Exemple 1 : $u_1(t) = 5 \cdot \sin(2\pi \cdot 500 \cdot t)$ ne contient qu'une seule fréquence : $f = 500 \text{ Hz}$ $T = 2 \text{ ms}$



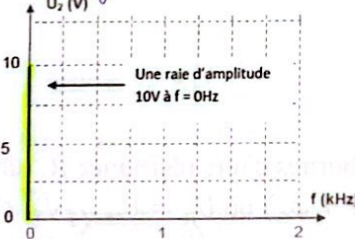
Specire du signal



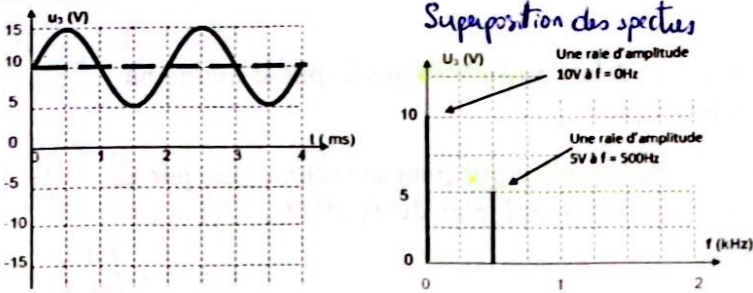
Exemple 2 : $u_2(t) = U_2 = 10V$



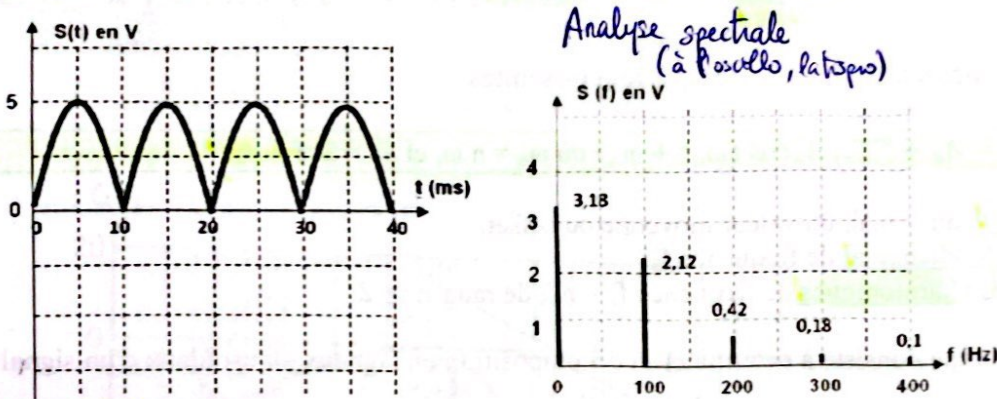
signal continue



Exemple 3 : $u_3(t) = u_1(t) + u_2(t) = 10 + 5 \cdot \sin(2\pi \cdot 500 \cdot t)$



Exemple 4 : Signal sinusoïdal redressé « double alternance » $f_0 = 50 \text{ Hz}$



Exemple 5 : Signal carré

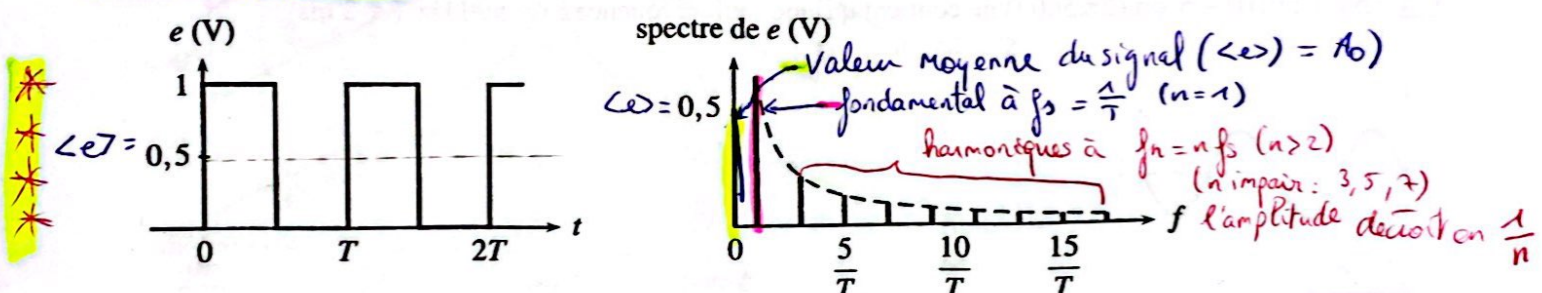


Figure 12.14 – Forme d'onde et spectre du signal $e(t)$.

Pq: des harmoniques à hautes fréquences donnent les détails du signal

pas utile
Remarque : Conservation de la puissance
 Pour une tension périodique $u(t)$ mesurée aux bornes d'une résistance R , on a la décomposition en série de Fourier : $u(t) = U_0 + \sum_{n=1}^{\infty} U_{n,eff} \sqrt{2} \cos(\omega_n t + \varphi_n)$ où $U_n = U_{n,eff} \sqrt{2}$ ← décomposé en série de Fourier
 Amplitude Valeur efficace

* On admet que : $U_{eff}^2 = U_0^2 + \sum_{n=1}^{\infty} U_{n,eff}^2$ **Formule de Parseval**

donc $\frac{U_{eff}^2}{R} = \frac{U_0^2}{R} + \sum_{n=1}^{\infty} \frac{U_{n,eff}^2}{R}$ donc $P_R = P_0 + \sum_{n=1}^{\infty} P_n$ *

La puissance moyenne absorbée par la résistance R , due à la tension $u(t)$ est la somme des puissances dues à chacune des composantes de Fourier de la tension $u(t)$ (sa valeur moyenne, son fondamental et toutes ses harmoniques).

2.) Filtre passe-bas du premier ordre

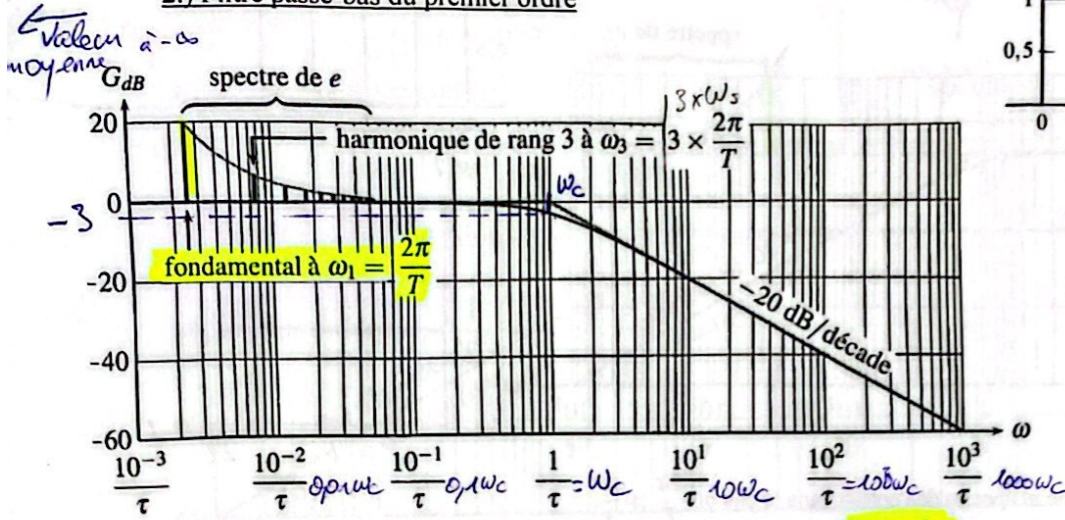
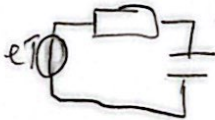


Figure 12.15 - Gain du système et spectre de l'entrée dans le cas où $\frac{2\pi}{T} \ll \frac{1}{\tau}$.

Filtrage passe-bas d'un signal créneaux (a) $T = 50 \tau$ en gris et $T = 10 \tau$ en noir

ex. RC série sortie sur C

$$H = \frac{1}{1 + j\omega\tau}$$



$$\tau = \frac{1}{\omega_c} \Rightarrow H = \frac{1}{1 + j\omega\tau}$$

(Rq: en S.O. : $p = j\omega \Rightarrow H = \frac{1}{1 + sp}$)

$$\text{1er cas: } \frac{2\pi}{T} \ll \frac{1}{\tau}, \quad T = T_s$$

$$\Rightarrow \omega_s \ll \omega_c$$

pulsation du signal ω_s pulsation de coupure ω_c

$$\begin{cases} \omega_s = 2\pi f_s \\ \omega_c = 2\pi f_c \end{cases} \Rightarrow f_s \ll f_c$$

$$\Rightarrow \frac{2\pi}{T} \ll \frac{1}{\tau} \Rightarrow T \gg 2\pi\tau$$

La valeur moyenne, le fondamental et les premières harmoniques sont dans la bande passante du filtre

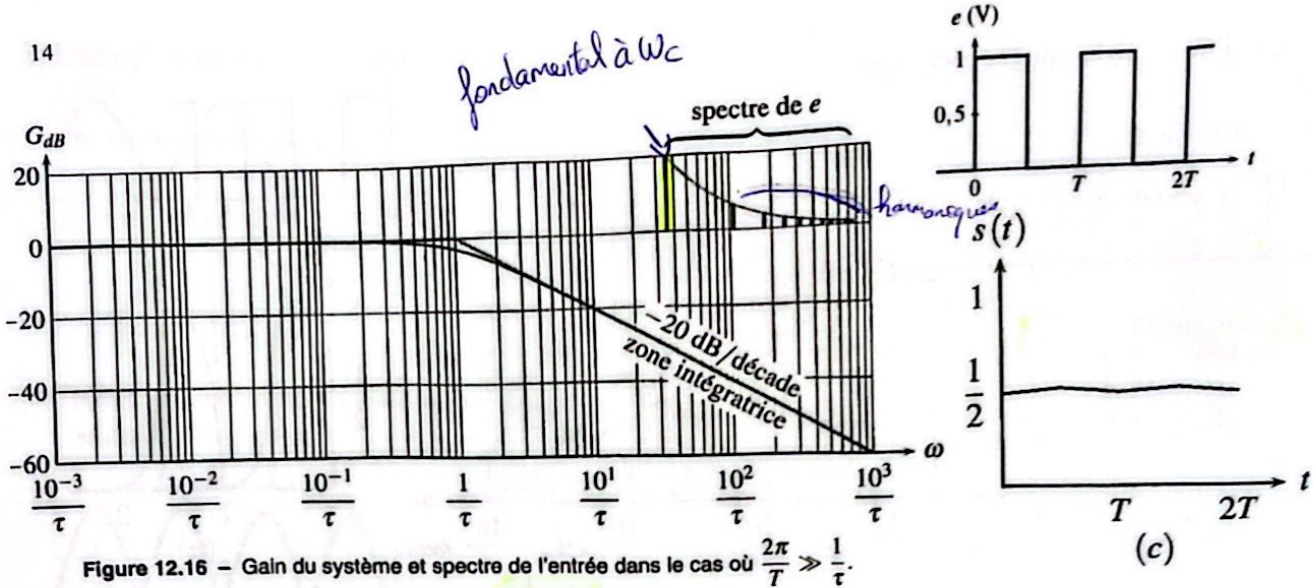
\Rightarrow elles passent sans atténuation

Les harmoniques hautes fréquences sont atténuées (sur la partie du DBA de pente -20 dB/dec)

\Rightarrow arrondissement des angles

Plus ω_s se rapproche de ω_c , + le signal est arrondi.

$$s(t) \approx e(t) \text{ si } \omega_s \ll \omega_c$$



Filtrage passe-bas d'un signal créneaux (c) $T = 0,1 \tau$.

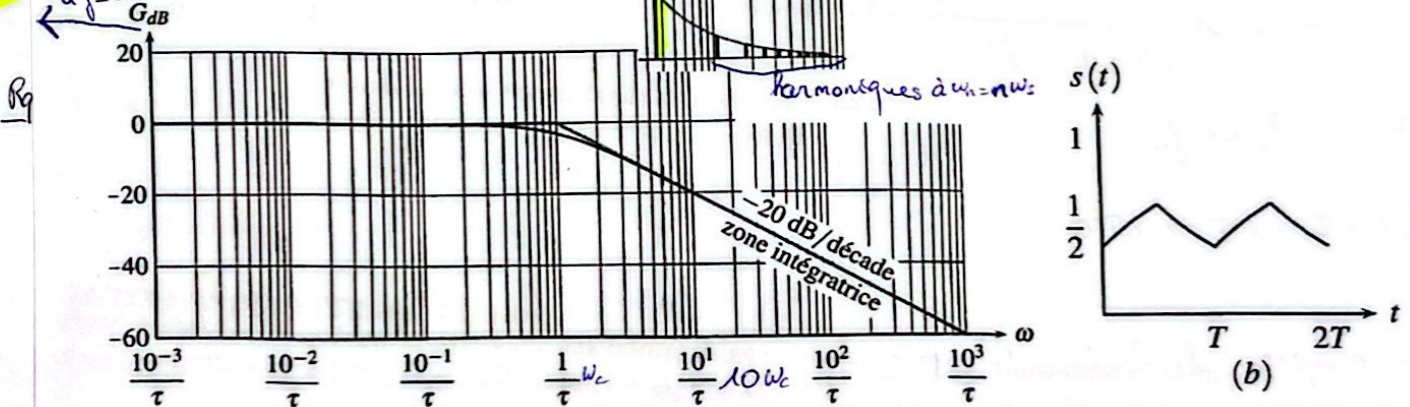
2^e cas: $\frac{2\pi}{T} \gg \frac{1}{\tau} \Rightarrow T \ll 2\pi\tau$

$\Rightarrow \omega_s \gg \omega_c, f_s \gg f_c$

la valeur moyenne est dans la bande passante du filtre, elle n'est pas atténuée

le fondamental et H les harmoniques sont fortement atténués
 $\Rightarrow s(t) = \langle e \rangle \Rightarrow$ le filtre se comporte comme un moyenneur

* Valeur moyenne à $f=0$



Filtrage passe-bas d'un signal créneaux (b) $T = \tau$.

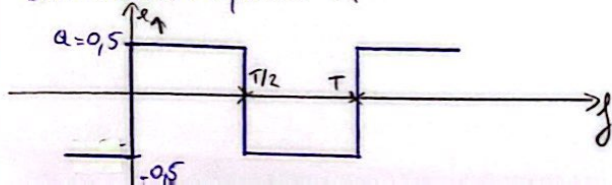
3^e cas: $T = \tau \Rightarrow \omega_s = \frac{2\pi}{T} = \frac{2\pi}{\tau}$

$\Rightarrow \omega_s = 2\pi\omega_c$

$\Rightarrow \omega_s \approx 6,3 \omega_c$

la valeur moyenne est passée (sans atténuation)

sans valeur moyenne: e_1



entre 0 et $\frac{T}{2}, e_1 = a \Rightarrow s_1 = at + b$

entre $\frac{T}{2}$ et $T: e_1 = -a \Rightarrow s_1 = -at + b'$

\Rightarrow signal triangulaire qui correspond à la primitive du signal denté

\hookrightarrow le filtre se comporte comme un intégrateur

$s(t) = s_1(t) + \langle e \rangle$

Valeur moyenne
à $f=0, \omega=0$

3.) Filtre passe-haut du premier ordre

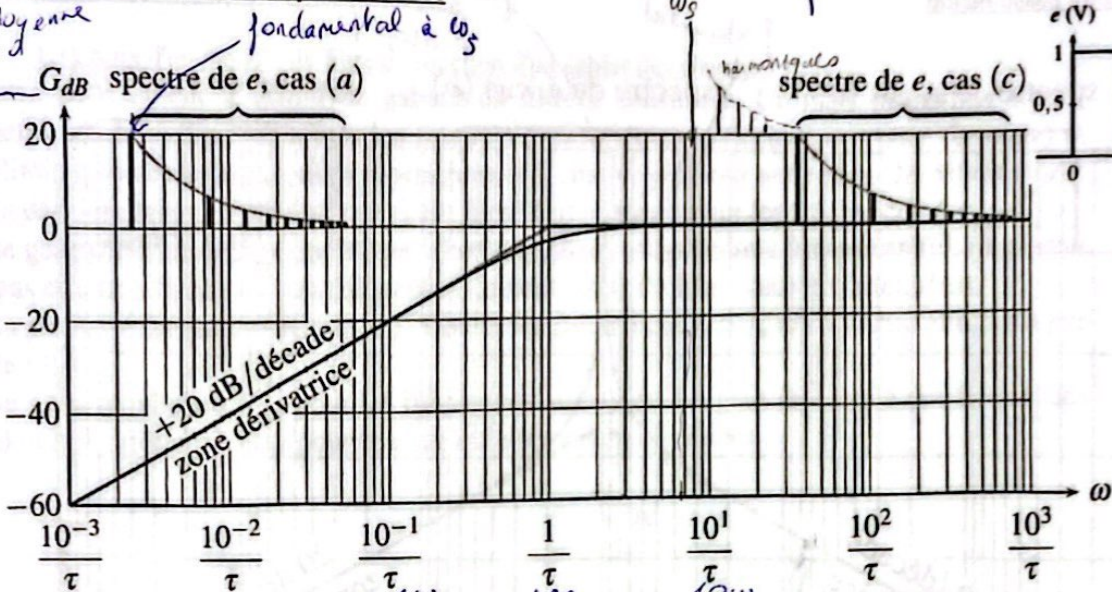


Figure 12.18 – Gain du système et spectre de l'entrée pour un filtrage passe-haut.

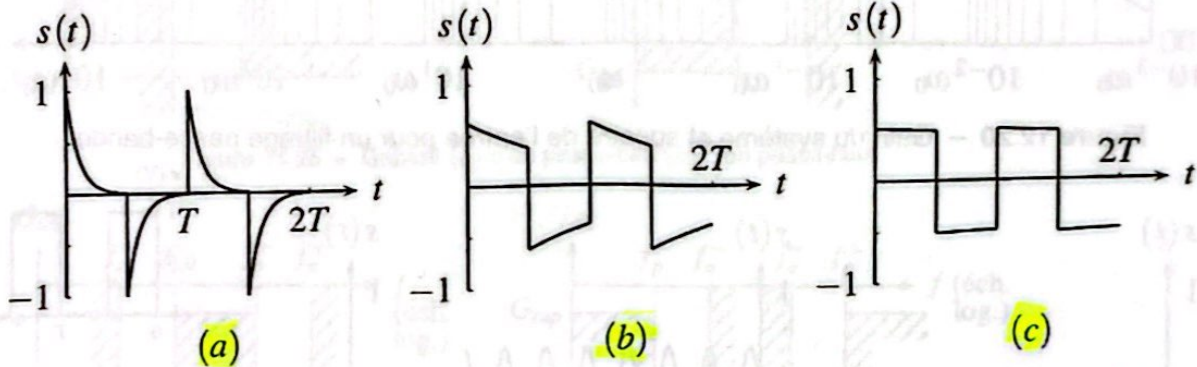
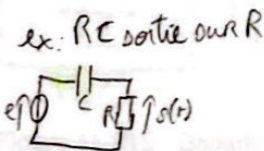


Figure 12.19 – Filtrage passe-haut d'un signal créneau (a) $T = 10\tau$, (b) $T = \tau$, (c) $T = 0,1\tau$.

$$H = \frac{j\omega C}{1 + j\omega C R}$$



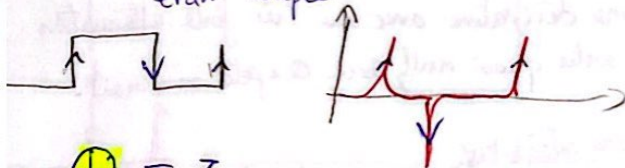
$$\tau = \frac{1}{\omega_c}$$

$$\hookrightarrow H = \frac{j\omega \tau}{1 + j\omega \tau}$$

signal de période $T = \frac{2\pi}{\omega_s}$

Cas (a): $\omega_s \ll \omega_c \Rightarrow T \gg \tau$

On obtient la dérivée du signal d'entrée, la composante continue étant coupée



Cas (b): $T = \tau$

$$\Rightarrow \omega_s = \frac{2\pi}{T}$$

$$\Rightarrow \omega_s = 2\pi \omega_c \approx 6,3 \omega_c$$

la valeur moyenne étant coupée

Cas (c): $\omega_s \gg \omega_c$

graphiquement, le signal est dans la bande passante du filtre (à la même), il passe sans déformation, la composante 'étant coupée.

$$T = 0,1\tau \Rightarrow \omega_s = \frac{2\pi}{T} = \frac{2\pi}{0,1\tau}$$

$$\Rightarrow \omega_s = 63 \omega_c$$

4.) Filtre passe-bande

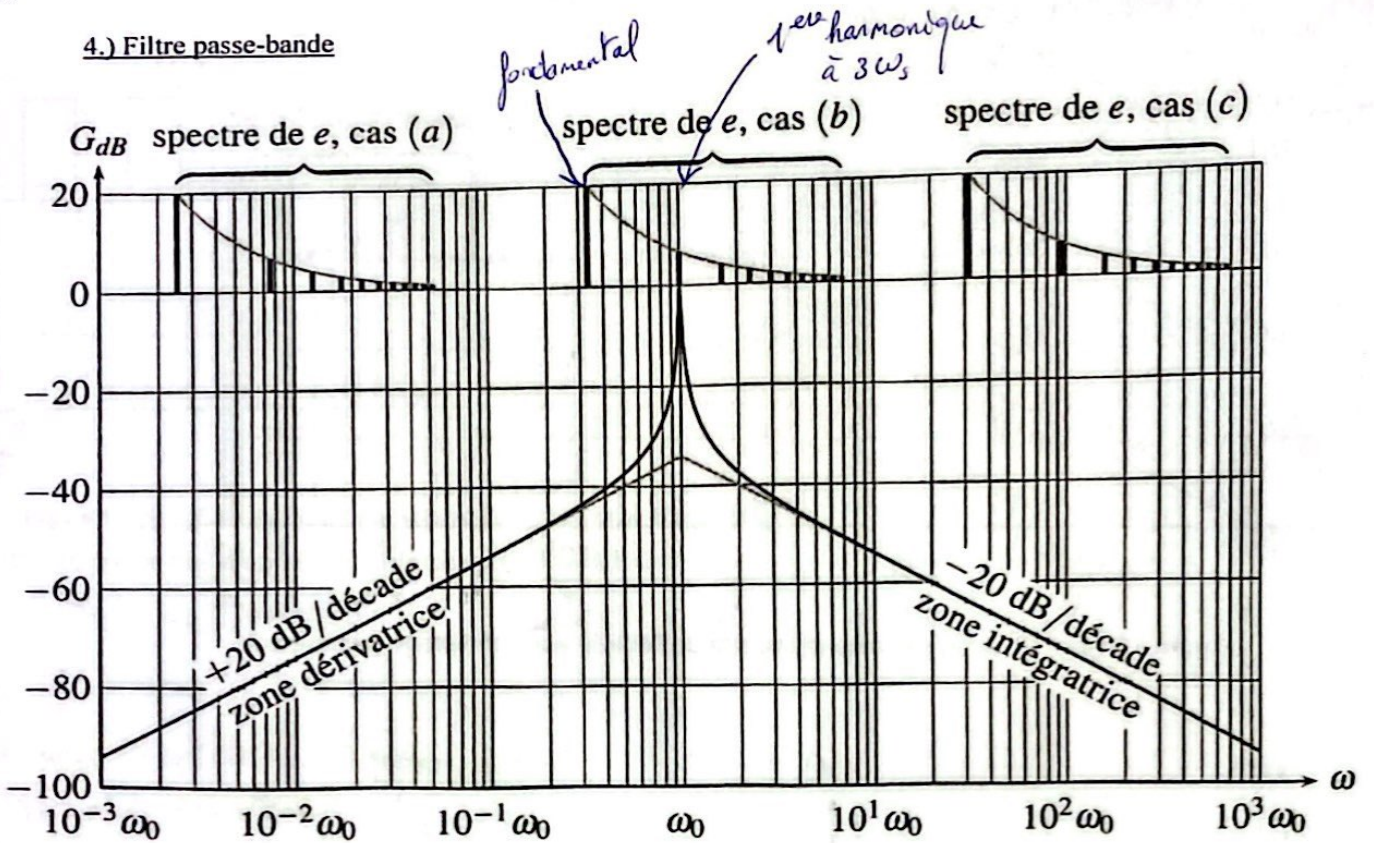


Figure 12.20 - Gain du système et spectre de l'entrée pour un filtrage passe-bande.

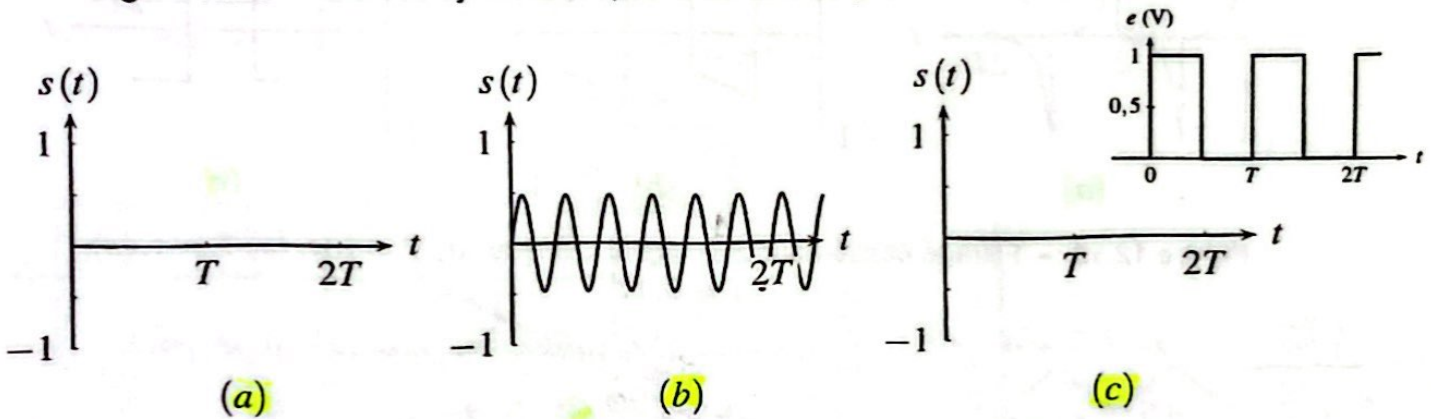
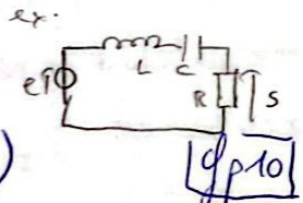


Figure 12.21 - Filtrage passe-bande d'un signal créneau : (a) $\frac{2\pi}{T} \ll \omega_0$,

(b) $3 \times \frac{2\pi}{T} = \omega_0$, (c) $\frac{2\pi}{T} \gg \omega_0$.

$H = \frac{1}{1 + jQ(\omega - \frac{\omega_0}{Q})}$
 $\omega = \frac{\omega_0}{Q} \Rightarrow H = \frac{1}{1 + jQ(\frac{\omega_0}{Q} - \frac{\omega_0}{Q})}$
 Max de gain: $\omega = \omega_0$, $H = 1$, $\phi = 0$
 Les asymptotes se coupent en $\gamma = -20 \log Q$
 Skaphe: $\gamma = -32 = -20 \log Q \Rightarrow \log Q = \frac{32}{20}$
 $Q = 10^{1.6} = 40 \Rightarrow$ filtre très sélectif.



cas (b): $\omega_0 = 3\omega_s$; une seule harmonique passe de pulsation $\omega_s = 3\omega_s$, de période $T_3 = \frac{e}{\omega_s} = \frac{2\pi}{3\omega_s} = \frac{T}{3}$
 \Rightarrow signal sinusoïdal de valeur moyenne nulle.
 cas (a): zone dérivatrice avec une très forte atténuation
 \Rightarrow signal de sortie quasi nul, avec Q + petit on aurait:
 cas (c): zone intégratrice avec une très forte atténuation
 Avec Q + petit on aurait.

Utilisation des filtres

1.) Choix d'un modèle de filtre en fonction d'un cahier des charges.

On est donc amené à définir un gabarit du filtre à construire. Un filtre **passé-bas** a pour fonction de laisser passer toutes les fréquences inférieures à f_p (indice p pour passante) et d'éliminer toutes les fréquences supérieures à f_a (indice a pour atténuée). On définit alors :

- la dernière **fréquence passante** f_p (le filtre doit laisser passer les fréquences $f < f_p$),
- le **gain minimum** G_{sup} , en dB, pour les fréquences qui passent à travers le filtre (il ne doit pas être trop faible, car ces fréquences doivent sortir du filtre sans être atténuées),
- la première **fréquence atténuée** f_a (toutes les fréquences $f > f_a$ doivent être éliminées par le filtre),
- le **gain maximum** G_{inf} pour les fréquences atténuées. Le gain du filtre à ces fréquences doit être inférieur à G_{inf} pour être sûr qu'elles soient éliminées.

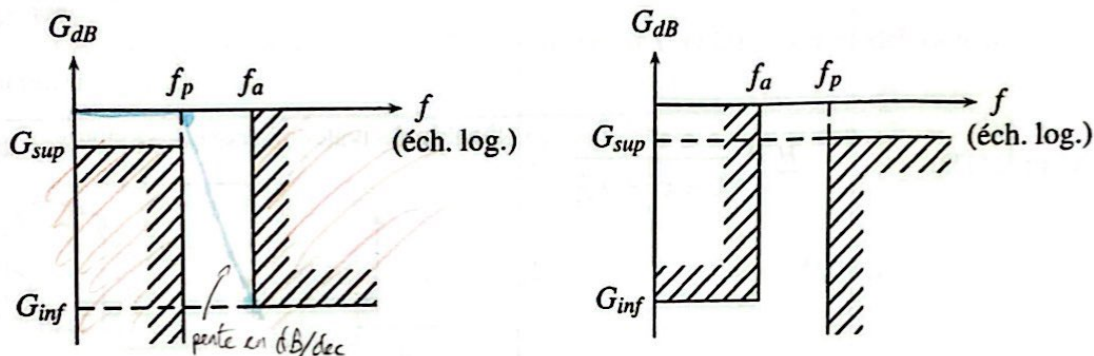


Figure 11.25 – Gabarit (a) d'un passe-bas (b) d'un passe-haut.

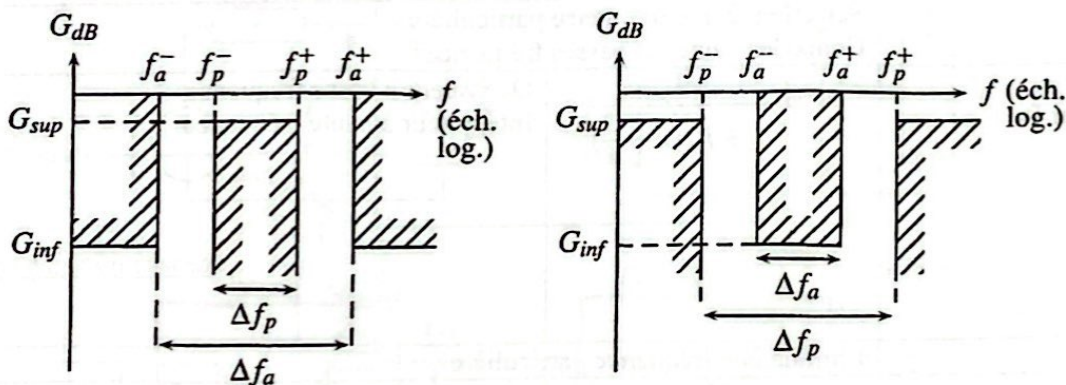
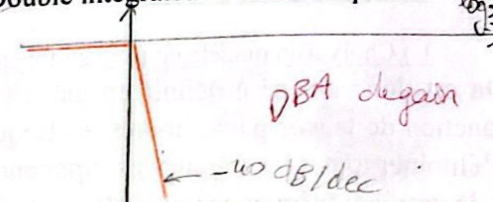
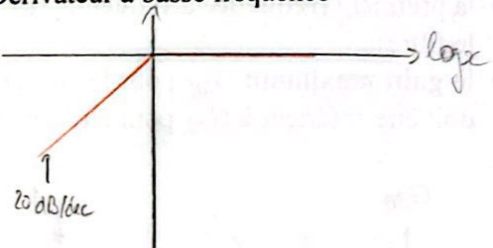
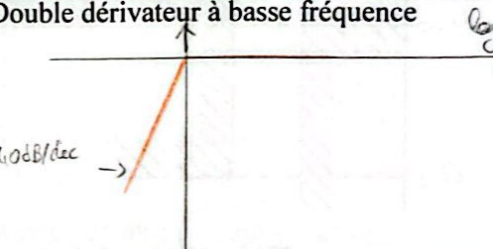
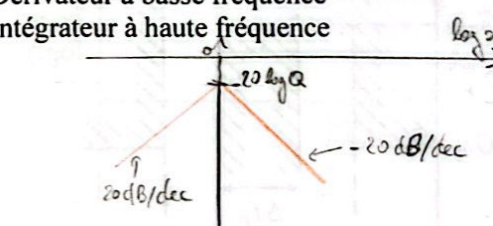
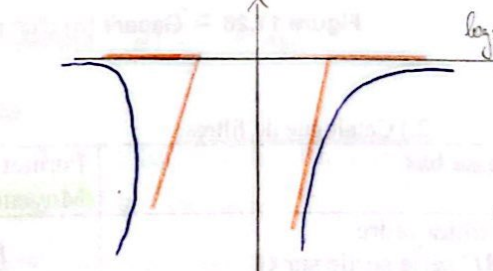


Figure 11.26 – Gabarit (c) d'un passe-bande (d) d'un coupe-bande.

2.) Catalogue de filtres.

Passé bas	Permet de recueillir l'information sur la forme générale du signal. Moyenneur.	
Premier ordre : - RC série sortie sur C - RL série sortie sur R (TD)	$\underline{H} = \frac{1}{1 + jx}$	Intégrateur à haute fréquence DBA de gain ← -20dB/dec

Second ordre : - RLC série sortie sur C	$\underline{H} = \frac{1}{1 - x^2 + j\frac{x}{Q}}$	Double intégrateur à haute fréquence $\log \omega$  <p>DBA de gain -40 dB/dec</p>
Passe haut	Permet de recueillir l'information relative aux détails du signal. Elimine la valeur moyenne.	
Premier ordre : - RC série sortie sur R - RL série sortie sur L (TD)	$\underline{H} = \frac{jx}{1 + jx}$	Dérivateur à basse fréquence $\log \omega$  <p>20 dB/dec</p>
Second ordre : - RLC série sortie sur L (TD)	$\underline{H} = \frac{-x^2}{1 - x^2 + j\frac{x}{Q}}$	Double dérivateur à basse fréquence $\log \omega$  <p>40 dB/dec</p>
Passe bande	Sélectionne une fréquence particulière. Coupe les hautes et basses fréquences.	
Second ordre : - RLC série sortie sur R	$\underline{H} = \frac{1}{1 + jQ(x - \frac{1}{x})}$	Dérivateur à basse fréquence Intégrateur à haute fréquence $\log \omega$  <p>20 dB/dec 20 dB/dec</p>
Coupe bande	Elimine une fréquence particulière.	
Second ordre : - RLC série sortie sur (L,C) (TD)	$\underline{H} = \frac{1 - x^2}{1 - x^2 + j\frac{x}{Q}}$	 <p>$\log \omega$</p>

3.) Mise en cascades de deux filtres.

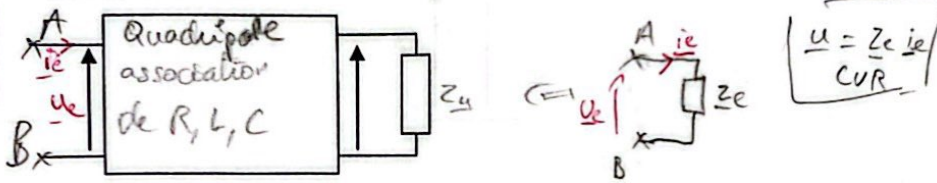
a) Impédances d'entrée et de sortie.

Impédance d'entrée : $Z_e = \frac{u_e}{i_e}$ En présence de Z_u : impédance d'entrée en charge.

* En l'absence de Z_u : impédance d'entrée à vide.

On a un dipôle linéaire passif vu de l'entrée (entre A et B) : il est modélisable depuis l'entrée par une impédance équivalente puisqu'il ne contient pas de générateur.

Pour la calculer, on débranche le générateur et on fait des schémas équivalents.



Impédance de sortie

On a un dipôle linéaire actif vu de la sortie (entre C et D) : il est modélisable depuis la sortie par un générateur équivalent de Thévenin.

Pour la calculer, on débranche la charge et on fait des schémas équivalents. $Z_s = -\frac{u_s}{i_s}$ *

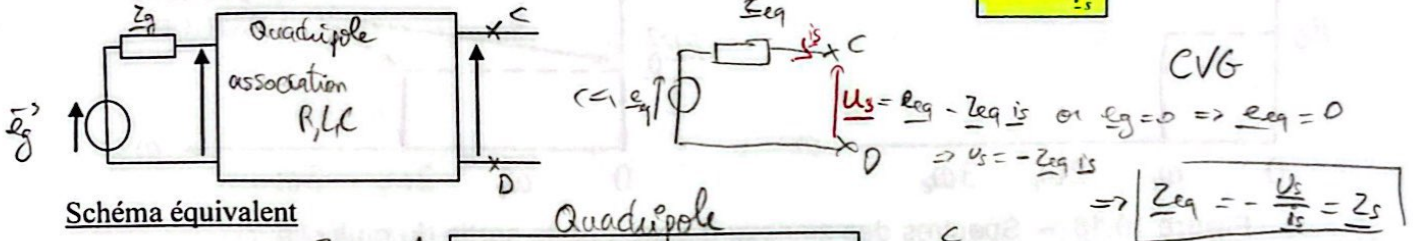
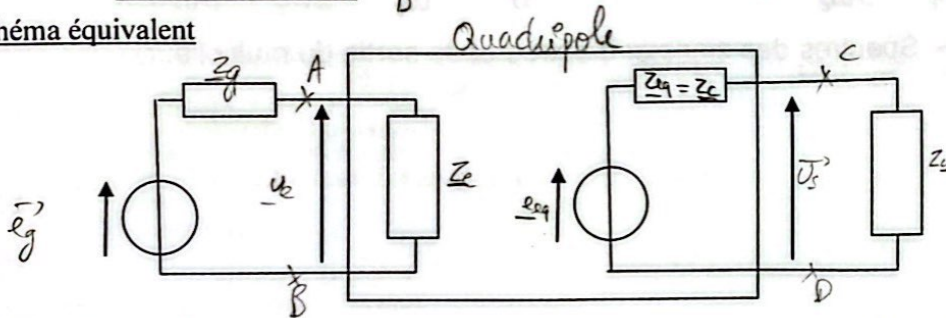
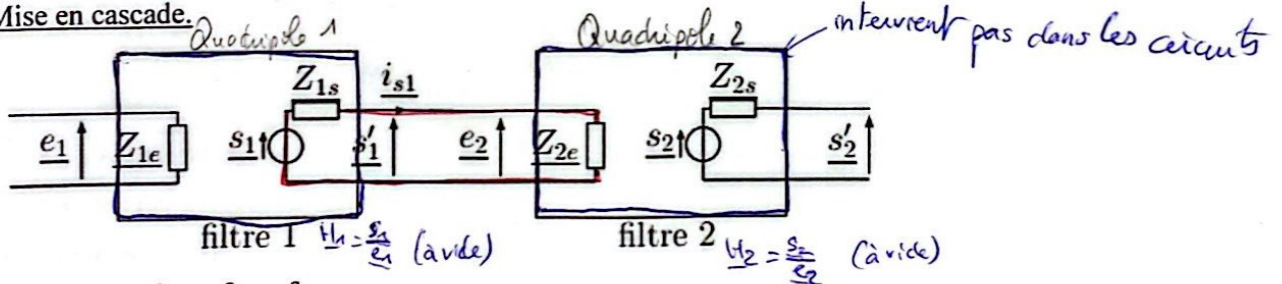


Schéma équivalent



b) Mise en cascade.



On veut : $H = \frac{s_2}{e_1} = \frac{s_2}{e_2} \times \frac{s_1}{e_1} = H_2 \times H_1$

On veut $s_1' = s_1$
 inf, on a : $s_1' = \frac{Z_{2e}}{Z_{1s} + Z_{2e}} s_1$
 $s_1' \approx s_1$ si $Z_{2e} \gg Z_{1s}$
 $\Rightarrow s_1' \approx \frac{Z_{2e}}{Z_{2e}} s_1$

$H_1 = \frac{s_1}{e_1}$ à vide
 \Rightarrow le quadripôle est à vide si le courant de sortie $i_s \neq 0$
 or $i_s = \frac{e_2}{Z_{2e}}$ donc on veut $|Z_{2e}| \gg 1$

Pour trouver ce résultat, il faut : $i_{s1} = 0$, soit $Z_{2e} \gg 1$ et $e_2 = s_1$ soit $Z_{2e} \gg Z_{1s}$
 C'est ce qu'on appelle l'adaptation d'impédance.

4.) Exemple de filtre non linéaire : le multiplieur

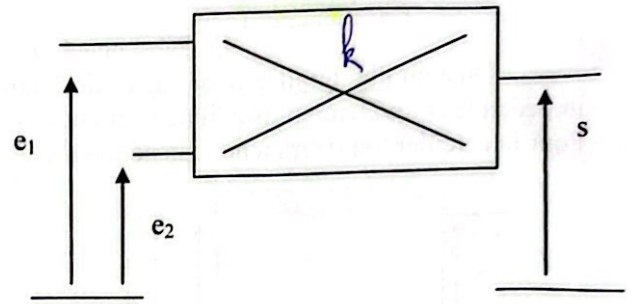
On aura en sortie : $s(t) = k \cdot e_1(t) \cdot e_2(t)$ où k est le gain du multiplieur (en V^{-1}).

Si $e_1(t) = e_2(t) = E_0 \cos(\omega_e t)$,

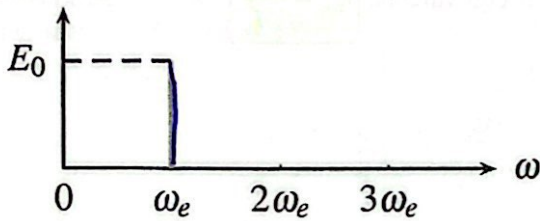
$$\text{alors } s(t) = k E_0^2 \cos^2(\omega_e t) = k E_0^2 \frac{1 + \cos(2\omega_e t)}{2}$$

$$\cos(2a) = 2\cos^2(a) - 1 \Rightarrow \cos^2(a) = \frac{\cos(2a) + 1}{2}$$

$$\Rightarrow s(t) = \frac{k E_0^2}{2} + \frac{k E_0^2}{2} \cos(2\omega_e t)$$



spectre de e



spectre de s

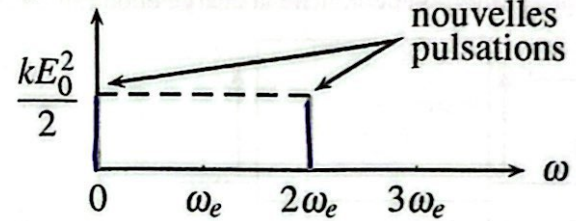


Figure 10.18 – Spectres des signaux d'entrée et de sortie du multiplieur.

VI Capacité numérique : Simuler l'action d'un filtre sur un signal périodique.

```

1  ##SE6 Capacité numérique
2  ##effet d'un filtre sur un signal périodique
3
4  ##exemple du signal créneau et des filtres passe bas et passe haut du premier ordre (variable fo)
5
6  ##importation des bibliothèques
7
8  import numpy as np
9  import scipy.integrate as spi
10 import matplotlib.pyplot as plt
11
12 ##definition des filtres du premier ordre:
13 ##Filtre passe bas
14 def passebas(f,fo):#definition du module de H#
15     x=f/fo
16     h=1/(1+x**2)**(0.5)
17     return(h)
18
19 def phasebas(f,fo):#definition de l'argument de H#
20     x=f/fo
21     phib=-np.arctan(x)
22     return(phib)
23
24 ##Filtre passe haut
25 def passehaut(f,fo):
26     x=f/fo
27     h=x/(1+x**2)**(0.5)
28     return(h)
29
30 def phasehaut(f,fo):
31     x=f/fo
32     phih=-np.arctan(x)+np.pi/2
33     return(phih)
34
35 ##spectre du signal d'entrée créneau:
36 F=[0] #frequence nulle
37 f=1000 #fondamental (à modifier)
38 N=200 #nombres d'harmoniques
39 for k in range(1,N):#Les fréquences des harmoniques#
40     y=f*k
41     F.append(y)
42
43 Ae=[0.5] #composante continue
44 A=1 #amplitude du fondamental
45 for k in range(1,N):#cas d'un signal creneau
46     if k%2==0:
47         y=0
48     else:
49         y=A/k
50     Ae.append(y)
51
52 ##fonction produit de listes:
53
54 def prod(A,B):
55     C=[]
56     for k in range(len(A)):
57         x=A[k]*B[k]
58         C.append(x)
59     return(C)
60
61 ##calcul du spectre en sortie
62 fo=2000 #fréquence de coupure du filtre#
63 Hpb=[passebas(freq,fo) for freq in F]#création de la liste des amplitudes#
64 Asp=prod(Hpb,Ae)
65 phipb=[phasebas(freq,fo) for freq in F]#création de la liste des arguments# = liste des phases
66
67 Hph=[passehaut(freq,fo) for freq in F]
68 Asph=prod(Hph,Ae)
69 phiph=[phasehaut(freq,fo) for freq in F]

```

$H = \frac{1}{1+jx}$
 $|H| = \frac{1}{\sqrt{1+x^2}}$
 $\varphi_b = -\arctan(x)$
 $H = \frac{jx}{1+jx}$
 $|H| = \frac{x}{\sqrt{1+x^2}}$
 $\varphi_h = \frac{\pi}{2} - \arctan(x)$

On crée une liste des fréquences du signal d'entrée
 On crée la liste des amplitudes du signal d'entrée Ae

```

76 ##tracé des courbes
77
78 ##effet du passe bas
79
80 plt.bar(F,Ae,200,color='r',label="Signal d'entrée")
81 plt.bar(F,Aspb,100,color='b',label='Signal de sortie du passe-bas')
82
83 plt.xlabel('frequences')
84 plt.ylabel('An')
85 plt.axis([-2000,20000,0,1])
86 plt.title('spectres de fréquence')
87 plt.legend()
88
89
90 ##effet du passe haut
91 plt.figure()
92 plt.bar(F,Ae,200,color='r',label="Signal d'entrée")
93 plt.bar(F,Asph,100,color='b',label='Signal de sortie du passe-haut')
94
95 plt.xlabel('frequences')
96 plt.ylabel('An')
97 plt.axis([-2000,20000,0,1])
98 plt.title('spectres de fréquence')
99 plt.legend()
100
101
102
103 ##Courbes temporelles
104 les_t=np.linspace(0,3/f,2000)#intervalle de temps
105
106 les_e=[]#Création de la liste des amplitudes pour la tension d'entrée#
107 les_sb=[]#Création de la liste des amplitudes pour la tension de sortie#
108 les_sh=[]
109
110 for t in les_t:
111     e=Ae[0]
112     sb=Aspb[0]
113     sh=Asph[0]
114     for k in range (1,N):
115         e=e+Ae[k]*np.sin((2*np.pi*f*k)*t)
116         sb=sb+Aspb[k]*np.sin((2*np.pi*f*k)*t+phi_pb[k])
117         sh=sh+Asph[k]*np.sin((2*np.pi*f*k)*t+phi_ph[k])
118     les_e.append(e)
119     les_sb.append(sb)
120     les_sh.append(sh)
121
122 plt.figure()
123 plt.plot(les_t,les_e)
124 plt.title('signal d entrée: e(t)')
125 plt.xlabel('t(s)')
126 plt.ylabel('e(V)')
127 plt.figure()
128 plt.plot(les_t,les_sb)
129 plt.title('s(t) pour le filtre passe bas')
130 plt.xlabel('t(s)')
131 plt.ylabel('e(V)')
132 plt.figure()
133 plt.plot(les_t,les_sh)
134 plt.title('s(t) pour le filtre passe haut')
135 plt.xlabel('t(s)')
136 plt.ylabel('e(V)')
137
138 plt.show()

```

Théorème de Fourier